CIE02 tristimulus values, chromatic values, and putities (n_a=2,5, n_b=−1,0).
Normalized *Ostwald (O)* tristimulus values (Y_w=100), ordered by wavelength.

no.	*O*	*C*	tristimulus values and chromaticities						*nu*-chromatic values			
	λ_n		*X*	*Y*	*Z*	*x*	*y*	*z*	A_{nu}	B_{nu}	C_{ABnu}	h_{ABnu}
00	396		31,24	12,19	76,69	0,260	0,101	0,638	11,9	−66,6	67,7	280
01	463		13,25	6,34	78,11	0,135	0,064	0,799	−16,3	−72,8	74,7	257
02	466		13,27	8,01	79,21	0,132	0,079	0,788	−19,5	−72,6	75,2	254
03	471		13,39	12,66	80,68	0,125	0,118	0,755	−27,5	−70,2	75,4	248
04	475B		14,00	19,21	81,44	0,122	0,167	0,710	−37,4	−65,6	75,5	240
05	479		15,61	27,50	81,85	0,124	0,220	0,655	−47,8	−59,2	76,1	231
06	481		18,42	36,66	82,05	0,134	0,267	0,598	−57,1	−51,9	77,2	222
07	483		20,35	41,45	82,11	0,141	0,288	0,570	−61,0	−48,0	77,7	218
08	484		22,64	46,29	82,14	0,149	0,306	0,543	−64,3	−44,0	77,9	214
09	485		25,29	51,06	82,16	0,159	0,322	0,518	−66,6	−40,1	77,8	211
10	486C		29,62	57,81	81,62	0,175	0,341	0,482	−68,5	−34,0	76,5	206
11	490		26,32	58,17	63,51	0,177	0,393	0,429	−68,2	−15,6	70,0	192
12	497		23,01	58,66	42,48	0,185	0,472	0,342	−66,9	5,7	67,1	175
13	501		22,62	59,57	35,18	0,192	0,507	0,299	−66,1	13,7	67,5	168
14	506		22,26	60,29	28,28	0,200	0,543	0,255	−65,0	21,2	68,4	161
15	519		21,83	61,02	17,06	0,218	0,610	0,170	−62,3	33,1	70,6	152
16	522G		24,04	63,42	17,06	0,230	0,606	0,163	−61,7	35,0	71,0	150
17	535		27,22	66,19	9,71	0,263	0,641	0,094	−56,5	44,7	72,1	141
18	544		35,20	72,16	7,33	0,306	0,629	0,063	−48,8	52,0	71,3	133
19	561		65,07	87,80	5,54	0,410	0,554	0,034	−11,8	66,6	67,7	100
20	568		83,05	93,65	4,13	0,459	0,517	0,022	16,3	72,8	74,6	77
21	569		83,03	91,98	3,02	0,466	0,516	0,016	19,5	72,6	75,2	74
22	571		82,92	87,33	1,55	0,482	0,508	0,009	27,5	70,2	75,4	68
23	573Y		82,30	80,76	0,80	0,502	0,492	0,004	37,4	65,6	75,5	60
24	577		80,69	72,49	0,38	0,525	0,472	0,002	47,8	59,2	76,1	51
25	581		77,87	63,33	0,18	0,550	0,447	0,001	57,1	51,8	77,2	42
26	583		75,96	58,54	0,13	0,564	0,434	0,000	61,1	48,0	77,7	38
27	585		73,67	53,70	0,09	0,577	0,421	0,000	64,3	44,0	77,9	34
28	587		71,01	48,93	0,07	0,591	0,407	0,000	66,7	40,1	77,8	31
29	592R		66,69	42,18	0,61	0,609	0,385	0,005	68,5	34,0	76,5	26
30	631		69,99	41,82	18,71	0,536	0,320	0,143	68,2	15,6	70,0	12
31	702		73,30	41,33	39,75	0,474	0,267	0,257	66,9	−5,7	67,2	355
32	706		73,69	40,41	47,04	0,457	0,250	0,291	66,1	−13,8	67,5	348
33	711		74,05	39,70	53,95	0,441	0,236	0,321	65,1	−21,3	68,5	341
34	724		74,48	38,97	65,18	0,416	0,218	0,364	62,4	−33,1	70,6	332
35	727M		72,26	36,57	65,17	0,415	0,210	0,374	61,7	−35,1	71,0	330
36	740		69,08	33,80	72,53	0,393	0,192	0,413	56,6	−44,7	72,1	321
37	749		61,10	27,83	74,91	0,372	0,169	0,457	48,8	−52,0	71,3	313
38	766		31,24	12,19	76,69	0,260	0,101	0,638	11,9	−66,6	67,7	280
39	828		13,25	6,34	78,11	0,135	0,064	0,799	−16,3	−72,8	74,7	257
	U=D50		**96,31**	**99,99**	**82,24**	**0,345**	**0,358**	**0,358**	**0,0**	**0,0**	**0,0**	**0**

$a=p_{an}=n_a p_a$=2,5[(1,000x−0,171+0,000z)/y] $A_{nu}=(a-a_u)\,Y$ $C_{ABnu}=[A^2_{nu}+B^2_{nu}]^{1/2}$
$b=p_{bn}=n_b p_b$=−1,0[(0,000x+0,000+1,000z)/y] $B_{nu}=(b-b_u)\,Y$ h_{ABnu}=atan[B_{nu}/A_{nu}]

DE710−3N

CIE02 tristimulus values, chromatic values, and putities (n_a=2,5, n_b=−1,0).
Normalized *Ostwald (O)* tristimulus values (Y_w=100), ordered by wavelength.

no.	*O*	*C*	*n*-purities					*nu*-purities			
	λ_n		*Y*	p_{an}	p_{bn}	p_{rn}	h_{abn}	p_{anu}	p_{bnu}	p_{rnu}	h_{abnu}
00	396		12,19	2,19	−6,29	6,66	289	0,97	−5,46	5,55	280
01	463		6,34	−1,36	−12,32	12,39	263	−2,57	−11,49	11,78	257
02	466		8,01	−1,22	−9,88	9,96	262	−2,43	−9,06	9,38	254
03	471		12,66	−0,95	−6,37	6,44	261	−2,17	−5,55	5,96	248
04	475B		19,21	−0,72	−4,23	4,29	260	−1,94	−3,41	3,93	240
05	479		27,50	−0,52	−2,97	3,02	260	−1,74	−2,15	2,76	231
06	481		36,66	−0,34	−2,23	2,26	261	−1,55	−1,41	2,10	222
07	483		41,45	−0,25	−1,98	1,99	262	−1,47	−1,15	1,87	218
08	484		46,29	−0,17	−1,77	1,78	264	−1,38	−0,95	1,68	214
09	485		51,06	−0,08	−1,60	1,61	266	−1,30	−0,78	1,52	211
10	486C		57,81	0,03	−1,41	1,41	271	−1,18	−0,58	1,32	206
11	490		58,17	0,04	−1,09	1,09	272	−1,17	−0,26	1,20	192
12	497		58,66	0,07	−0,72	0,72	275	−1,14	0,09	1,14	175
13	501		59,57	0,10	−0,59	0,60	280	−1,10	0,23	1,13	168
14	506		60,29	0,13	−0,46	0,48	286	−1,07	0,35	1,13	161
15	519		61,02	0,19	−0,27	0,34	304	−1,02	0,54	1,15	152
16	522G		63,42	0,24	−0,26	0,36	312	−0,97	0,55	1,11	150
17	535		66,19	0,36	−0,14	0,39	337	−0,85	0,67	1,08	141
18	544		72,16	0,54	−0,10	0,54	349	−0,67	0,72	0,98	133
19	561		87,80	1,08	−0,06	1,08	356	−0,13	0,75	0,77	100
20	568		93,65	1,39	−0,04	1,39	358	0,17	0,77	0,79	77
21	569		91,98	1,42	−0,03	1,42	358	0,21	0,78	0,81	74
22	571		87,33	1,53	−0,01	1,53	359	0,31	0,80	0,86	68
23	573Y		80,76	1,68	−0,00	1,68	359	0,46	0,81	0,93	60
24	577		72,49	1,87	−0,00	1,87	359	0,66	0,81	1,05	51
25	581		63,33	2,11	−0,00	2,11	359	0,90	0,81	1,21	42
26	583		58,54	2,26	−0,00	2,26	359	1,04	0,82	1,32	38
27	585		53,70	2,41	−0,00	2,41	359	1,19	0,82	1,45	34
28	587		48,93	2,58	−0,00	2,58	359	1,36	0,82	1,59	31
29	592R		42,18	2,84	−0,01	2,84	359	1,62	0,80	1,81	26
30	631		41,82	2,84	−0,44	2,88	351	1,63	0,37	1,67	12
31	702		41,33	2,83	−0,96	2,99	341	1,62	−0,13	1,62	355
32	706		40,41	2,85	−1,16	3,08	337	1,63	−0,34	1,67	348
33	711		39,70	2,85	−1,35	3,16	334	1,64	−0,53	1,72	341
34	724		38,97	2,81	−1,67	3,27	329	1,60	−0,85	1,81	332
35	727M		36,57	2,90	−1,78	3,40	328	1,68	−0,95	1,94	330
36	740		33,80	2,89	−2,14	3,60	323	1,67	−1,32	2,13	321
37	749		27,83	2,97	−2,69	4,00	317	1,75	−1,86	2,56	313
38	766		12,19	2,19	−6,29	6,66	289	0,97	−5,46	5,55	280
39	828		6,34	−1,36	−12,32	12,39	263	−2,57	−11,49	11,78	257
	U=D50		**99,99**	**1,216**	**−0,822**	**1,468**	**325**	**0,0**	**0,0**	**0,0**	**0**

$a=p_{an}=n_a p_a$=2,5[(1,000x−0,171+0,000z)/y] $A_{nu}=(a-a_u)\,Y$ $C_{ABnu}=[A^2_{nu}+B^2_{nu}]^{1/2}$
$b=p_{bn}=n_b p_b$=−1,0[(0,000x+0,000+1,000z)/y] $B_{nu}=(b-b_u)\,Y$ h_{ABnu}=atan[B_{nu}/A_{nu}]

DE710−4N

CIE02 tristimulus values, chromatic values, and putities (n_a=2,5, n_b=−1,0).
Normalized *Ostwald (O)* tristimulus values (Y_w=100), odered by hue angle.

no.	*O*	*C*	tristimulus values and chromaticities						*nu*-chromatic values			
	λ_n		*X*	*Y*	*Z*	*x*	*y*	*z*	A_{nu}	B_{nu}	C_{ABnu}	h_{ABnu}
00	631		69,99	41,82	18,71	0,536	0,320	0,143	68,2	15,6	70,0	372
01	702		73,30	41,33	39,75	0,474	0,267	0,257	66,9	−5,7	67,2	355
02	706		73,69	40,41	47,04	0,457	0,250	0,291	66,1	−13,8	67,5	348
03	711		74,05	39,70	53,95	0,441	0,236	0,321	65,1	−21,3	68,5	341
04	724		74,48	38,97	65,18	0,416	0,218	0,364	62,4	−33,1	70,6	332
05	727M		72,26	36,57	65,17	0,415	0,210	0,374	61,7	−35,1	71,0	330
06	740		69,08	33,80	72,53	0,393	0,192	0,413	56,6	−44,7	72,1	321
07	749		61,10	27,83	74,91	0,372	0,169	0,457	48,8	−52,0	71,3	313
08	396		31,24	12,19	76,69	0,260	0,101	0,638	11,9	−66,6	67,7	280
09	463		13,25	6,34	78,11	0,135	0,064	0,799	−16,3	−72,8	74,7	257
10	466		13,27	8,01	79,21	0,132	0,079	0,788	−19,5	−72,6	75,2	254
11	471		13,39	12,66	80,68	0,125	0,118	0,755	−27,5	−70,2	75,4	248
12	475B		14,00	19,21	81,44	0,122	0,167	0,710	−37,4	−65,6	75,5	240
13	479		15,61	27,50	81,85	0,124	0,220	0,655	−47,8	−59,2	76,1	231
14	481		18,42	36,66	82,05	0,134	0,267	0,598	−57,1	−51,9	77,2	222
15	483		20,35	41,45	82,11	0,141	0,288	0,570	−61,0	−48,0	77,7	218
16	484		22,64	46,29	82,14	0,149	0,306	0,543	−64,3	−44,0	77,9	214
17	485		25,29	51,06	82,16	0,159	0,322	0,518	−66,6	−40,1	77,8	211
18	486C		29,62	57,81	81,62	0,175	0,341	0,482	−68,5	−34,0	76,5	206
19	490		26,32	58,17	63,51	0,177	0,393	0,429	−68,2	−15,6	70,0	192
20	497		23,01	58,66	42,48	0,185	0,472	0,342	−66,9	5,7	67,1	175
21	501		22,62	59,57	35,18	0,192	0,507	0,299	−66,1	13,7	67,5	168
22	506		22,26	60,29	28,28	0,200	0,543	0,255	−65,0	21,2	68,4	161
23	519G		21,83	61,02	17,06	0,218	0,610	0,170	−62,3	33,1	70,6	152
24	522		24,04	63,42	17,06	0,230	0,606	0,163	−61,7	35,0	71,0	150
25	535		27,22	66,19	9,71	0,263	0,641	0,094	−56,5	44,7	72,1	141
26	544		35,20	72,16	7,33	0,306	0,629	0,063	−48,8	52,0	71,3	133
27	561		65,07	87,80	5,54	0,410	0,554	0,034	−11,8	66,6	67,7	100
28	568		83,05	93,65	4,13	0,459	0,517	0,022	16,3	72,8	74,6	77
29	569		83,03	91,98	3,02	0,466	0,516	0,016	19,5	72,6	75,2	74
30	571		82,92	87,33	1,55	0,482	0,508	0,009	27,5	70,2	75,4	68
31	573		82,30	80,76	0,80	0,502	0,492	0,004	37,4	65,6	75,5	60
32	577Y		80,69	72,49	0,38	0,525	0,472	0,002	47,8	59,2	76,1	51
33	581		77,87	63,33	0,18	0,550	0,447	0,001	57,1	51,8	77,2	42
34	583		75,96	58,54	0,13	0,564	0,434	0,000	61,1	48,0	77,7	38
35	585		73,67	53,70	0,09	0,577	0,421	0,000	64,3	44,0	77,9	34
36	587R		71,01	48,93	0,07	0,591	0,407	0,000	66,7	40,1	77,8	31
37	592		66,69	42,18	0,61	0,609	0,385	0,005	68,5	34,0	76,5	26
38	631		69,99	41,82	18,71	0,536	0,320	0,143	68,2	15,6	70,0	12
39	702		73,30	41,33	39,75	0,474	0,267	0,257	66,9	−5,7	67,2	−4
	U=D50		**96,31**	**99,99**	**82,24**	**0,345**	**0,358**	**0,358**	**0,0**	**0,0**	**0,0**	**0**

$a=p_{an}=n_a p_a$=2,5[(1,000x−0,171+0,000z)/y] $A_{nu}=(a-a_u)\,Y$ $C_{ABnu}=[A^2_{nu}+B^2_{nu}]^{1/2}$
$b=p_{bn}=n_b p_b$=−1,0[(0,000x+0,000+1,000z)/y] $B_{nu}=(b-b_u)\,Y$ h_{ABnu}=atan[B_{nu}/A_{nu}]

DE710−7N

CIE02 tristimulus values, chromatic values, and putities (n_a=2,5, n_b=−1,0).
Normalized *Ostwald (O)* tristimulus values (Y_w=100), odered by hue angle.

no.	*O*	*C*	*n*-purities					*nu*-purities			
	λ_n		*Y*	p_{an}	p_{bn}	p_{rn}	h_{abn}	p_{anu}	p_{bnu}	p_{rnu}	h_{abnu}
00	631		41,82	2,84	−0,44	2,88	351	1,63	0,37	1,67	372
01	702		41,33	2,83	−0,96	2,99	341	1,62	−0,13	1,62	355
02	706		40,41	2,85	−1,16	3,08	337	1,63	−0,34	1,67	348
03	711		39,70	2,85	−1,35	3,16	334	1,64	−0,53	1,72	341
04	724		38,97	2,81	−1,67	3,27	329	1,60	−0,85	1,81	332
05	727M		36,57	2,90	−1,78	3,40	328	1,68	−0,95	1,94	330
06	740		33,80	2,89	−2,14	3,60	323	1,67	−1,32	2,13	321
07	749		27,83	2,97	−2,69	4,00	317	1,75	−1,86	2,56	313
08	396		12,19	2,19	−6,29	6,66	289	0,97	−5,46	5,55	280
09	463		6,34	−1,36	−12,32	12,39	263	−2,57	−11,49	11,78	257
10	466		8,01	−1,22	−9,88	9,96	262	−2,43	−9,06	9,38	254
11	471		12,66	−0,95	−6,37	6,44	261	−2,17	−5,55	5,96	248
12	475B		19,21	−0,72	−4,23	4,29	260	−1,94	−3,41	3,93	240
13	479		27,50	−0,52	−2,97	3,02	260	−1,74	−2,15	2,76	231
14	481		36,66	−0,34	−2,23	2,26	261	−1,55	−1,41	2,10	222
15	483		41,45	−0,25	−1,98	1,99	262	−1,47	−1,15	1,87	218
16	484		46,29	−0,17	−1,77	1,78	264	−1,38	−0,95	1,68	214
17	485		51,06	−0,08	−1,60	1,61	266	−1,30	−0,78	1,52	211
18	486C		57,81	0,03	−1,41	1,41	271	−1,18	−0,58	1,32	206
19	490		58,17	0,04	−1,09	1,09	272	−1,17	−0,26	1,20	192
20	497		58,66	0,07	−0,72	0,72	275	−1,14	0,09	1,14	175
21	501		59,57	0,10	−0,59	0,60	280	−1,10	0,23	1,13	168
22	506		60,29	0,13	−0,46	0,48	286	−1,07	0,35	1,13	161
23	519G		61,02	0,19	−0,27	0,34	304	−1,02	0,54	1,15	152
24	522		63,42	0,24	−0,26	0,36	312	−0,97	0,55	1,11	150
25	535		66,19	0,36	−0,14	0,39	337	−0,85	0,67	1,08	141
26	544		72,16	0,54	−0,10	0,54	349	−0,67	0,72	0,98	133
27	561		87,80	1,08	−0,06	1,08	356	−0,13	0,75	0,77	100
28	568		93,65	1,39	−0,04	1,39	358	0,17	0,77	0,79	77
29	569		91,98	1,42	−0,03	1,42	358	0,21	0,78	0,81	74
30	571		87,33	1,53	−0,01	1,53	359	0,31	0,80	0,86	68
31	573		80,76	1,68	−0,00	1,68	359	0,46	0,81	0,93	60
32	577Y		72,49	1,87	−0,00	1,87	359	0,66	0,81	1,05	51
33	581		63,33	2,11	−0,00	2,11	359	0,90	0,81	1,21	42
34	583		58,54	2,26	−0,00	2,26	359	1,04	0,82	1,32	38
35	585		53,70	2,41	−0,00	2,41	359	1,19	0,82	1,45	34
36	587R		48,93	2,58	−0,00	2,58	359	1,36	0,82	1,59	31
37	592		42,18	2,84	−0,01	2,84	0	1,62	0,80	1,81	26
38	631		41,82	2,84	−0,44	2,88	−8	1,63	0,37	1,67	12
39	702		41,33	2,83	−0,96	2,99	−18	1,62	−0,13	1,62	−4
	U=D50		**99,99**	**1,216**	**−0,822**	**1,468**	**325**	**0,0**	**0,0**	**0,0**	**0**

$a=p_{an}=n_a p_a$=2,5[(1,000x−0,171+0,000z)/y] $A_{nu}=(a-a_u)\,Y$ $C_{ABnu}=[A^2_{nu}+B^2_{nu}]^{1/2}$
$b=p_{bn}=n_b p_b$=−1,0[(0,000x+0,000+1,000z)/y] $B_{nu}=(b-b_u)\,Y$ h_{ABnu}=atan[B_{nu}/A_{nu}]

DE710−8N

DE710−7R_pchartl=1_xcolorl=0(CIE02)

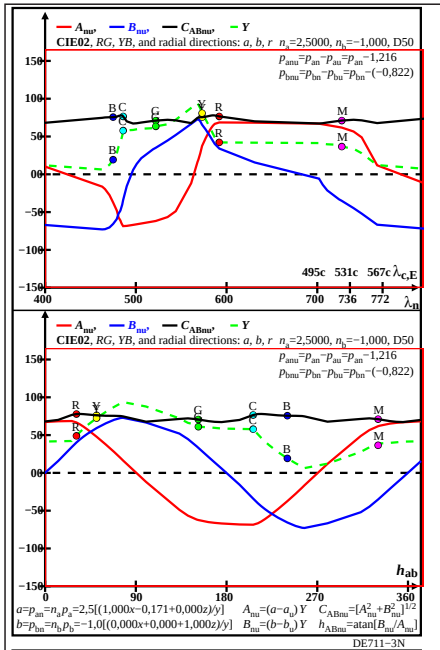

DE711−3N

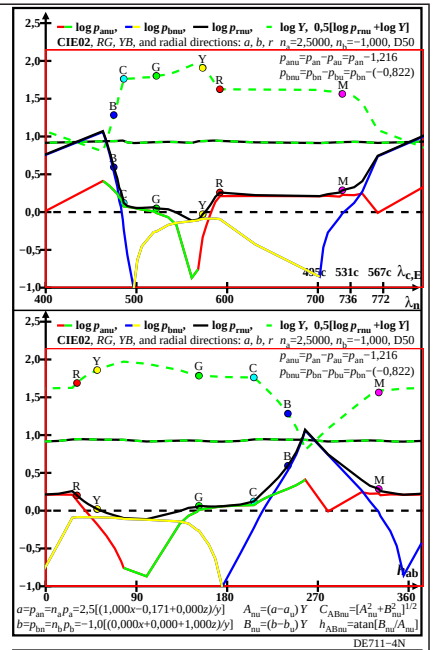

DE711−4N

X_w=96,31, Y_w=99,99, Z_w=82,24
x_w=0,3457 y_w=0,3589 z_w=0,2952
$a'_{1,nu}=(a_1-a_{1,u})\,Y_{18}\,[Y/Y_{18}]^{1/3}$
$b'_{1,nu}=(b_1-b_{1,u})\,Y_{18}\,[Y/Y_{18}]^{1/3}$
$a_1=n_a[(1{,}000x-0{,}171+0{,}000z)/y]$
$b_1=n_b[(0{,}000x+0{,}000+1{,}000z)/y]$
n_a = 2,50, n_b = −1,00
n = D50

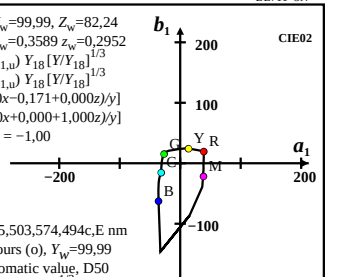

$\lambda_{B,G,Y,R}$=475,503,574,494c,E nm
Ostwald colours (o), Y_w=99,99
max (m) chromatic value, D50
purity (a_1, b_1)Y_{18} ($Y/Y_{18}^{1/3}$)

DE711−7N

X_w=96,31, Y_w=99,99, Z_w=82,24
x_w=0,3457 y_w=0,3589 z_w=0,2952
$A_1=(a_1-a_{1,u})\,Y/[Y/Y_{18}]^{1/3}$
$B_1=(b_1-b_{1,u})\,Y/[Y/Y_{18}]^{1/3}$
$a_1=n_a[(1{,}000x-0{,}171+0{,}000z)/y]$
$b_1=n_b[(0{,}000x+0{,}000+1{,}000z)/y]$
n_a = 2,50, n_b = −1,00
n = D50

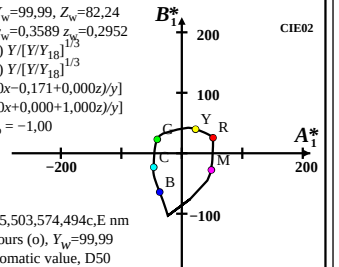

$\lambda_{B,G,Y,R}$=475,503,574,494c,E nm
Ostwald colours (o), Y_w=99,99
max (m) chromatic value, D50
chroma (A^*_1, B^*_1)

DE711−8N

X_w=96,31, Y_w=99,99, Z_w=82,24
x_w=0,3457 y_w=0,3589 z_w=0,2952
$A_1=(a_1-a_{1,u})\,Y$
$B_1=(b_1-b_{1,u})\,Y$
$a_1=n_a[(1{,}000x-0{,}171+0{,}000z)/y]$
$b_1=n_b[(0{,}000x+0{,}000+1{,}000z)/y]$
n_a = 2,50, n_b = −1,00
n = D50

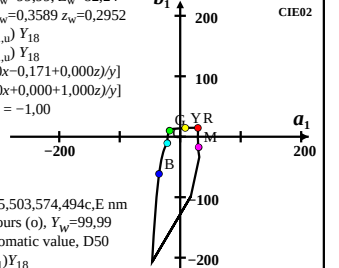

$\lambda_{B,G,Y,R}$=475,503,574,494c,E nm
Ostwald colours (o), Y_w=99,99
max (m) chromatic value, D50
purity (a_1, b_1)Y_{18}

DE711−7N

X_w=96,31, Y_w=99,99, Z_w=82,24
x_w=0,3457 y_w=0,3589 z_w=0,2952
$A_1=(a_1-a_{1,u})\,Y$
$B_1=(b_1-b_{1,u})\,Y$
$a_1=n_a[(1{,}000x-0{,}171+0{,}000z)/y]$
$b_1=n_b[(0{,}000x+0{,}000+1{,}000z)/y]$
n_a = 2,50, n_b = −1,00
n = D50

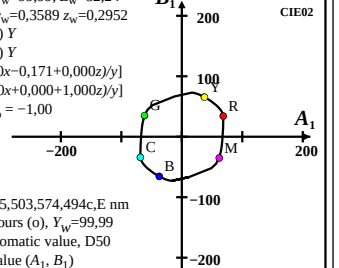

$\lambda_{B,G,Y,R}$=475,503,574,494c,E nm
Ostwald colours (o), Y_w=99,99
max (m) chromatic value, D50
chromatic value (A_1, B_1)

DE711−8N

DE711−7R_pchartl=1_xcolorl=0(CIE02)

CIE10 tristimulus values, chromatic values, and putities (n_a=2,5, n_b=−1,0).
Normalized *Ostwald (O)* tristimulus values (Y_w=100), ordered by wavelength.

no. O C	λ_n	*X*	*Y*	*Z*	*x*	*y*	*z*	A_{nu}	B_{nu}	C_{ABnu}	h_{ABnu}
		tristimulus values and chromaticities						***nu*-chromatic values**			
00 376		55,24	26,06	71,08	0,362	0,171	0,466	40,9	−49,9	64,5	309
01 458		13,22	7,40	75,87	0,136	0,076	0,786	−17,2	−69,8	71,9	256
02 460		13,26	8,89	77,33	0,133	0,089	0,777	−20,3	−70,1	73,0	253
03 462		13,28	10,68	78,42	0,129	0,104	0,765	−23,6	−69,7	73,6	251
04 462B		13,28	10,68	78,42	0,129	0,104	0,765	−23,6	−69,7	73,6	251
05 468		13,66	17,92	80,19	0,122	0,160	0,717	−35,6	−65,6	74,7	241
06 471		14,70	24,41	80,73	0,122	0,203	0,673	−44,4	−60,9	75,4	233
07 473		15,60	28,17	80,89	0,125	0,225	0,648	−48,8	−58,0	75,8	229
08 475		18,32	36,37	81,08	0,134	0,267	0,597	−56,8	−51,5	76,7	222
09 477		22,35	45,10	81,16	0,150	0,303	0,546	−63,0	−44,5	77,1	215
10 477C		22,35	45,10	81,16	0,150	0,303	0,546	−63,0	−44,5	77,1	215
11 479		27,82	53,94	81,17	0,170	0,331	0,498	−66,3	−37,3	76,1	209
12 480		30,64	58,21	79,19	0,182	0,346	0,471	−66,7	−31,9	73,9	205
13 484		25,67	56,42	59,80	0,180	0,397	0,421	−65,7	−14,0	67,2	192
14 492		22,50	56,65	38,03	0,192	0,483	0,324	−63,4	7,9	63,8	172
15 503		21,56	57,40	24,28	0,208	0,555	0,235	−60,7	22,2	64,6	159
16 512G		22,19	58,45	18,53	0,223	0,589	0,186	−58,6	28,9	65,4	153
17 521		24,28	60,61	13,79	0,246	0,614	0,139	−55,9	35,3	66,1	147
18 531		29,00	64,47	10,07	0,280	0,622	0,097	−50,9	42,2	66,1	140
19 541		41,39	73,93	10,07	0,330	0,589	0,080	−40,9	49,9	64,5	129
20 563		83,41	92,59	5,28	0,460	0,510	0,029	17,3	69,8	71,9	76
21 564		83,37	91,09	3,82	0,467	0,510	0,021	20,3	70,0	73,0	73
22 565		83,35	89,31	2,74	0,475	0,509	0,015	23,7	69,7	73,6	71
23 565Y		83,35	89,31	2,74	0,475	0,509	0,015	23,7	69,7	73,6	71
24 568		82,96	82,07	0,96	0,499	0,494	0,005	35,6	65,6	74,7	61
25 571		81,93	75,58	0,44	0,518	0,478	0,002	44,5	60,8	75,4	53
26 573		81,03	71,82	0,27	0,529	0,469	0,001	48,9	58,0	75,8	49
27 577		78,31	63,62	0,08	0,551	0,447	0,000	56,9	51,5	76,8	42
28 581		74,28	54,89	0,01	0,575	0,424	0,000	63,0	44,5	77,2	35
29 581R		74,28	54,89	0,01	0,575	0,424	0,000	63,0	44,5	77,2	35
30 587		68,81	46,05	0,00	0,599	0,400	0,000	66,3	37,3	76,1	29
31 589		67,60	44,04	0,93	0,600	0,391	0,008	66,8	34,8	75,3	27
32 692		70,96	43,57	21,37	0,522	0,320	0,157	65,8	13,9	67,2	11
33 697		74,12	43,34	43,14	0,461	0,269	0,268	63,4	−7,9	63,9	352
34 708		75,07	42,59	56,88	0,430	0,244	0,325	60,7	−22,3	64,7	339
35 717M		74,44	41,54	62,63	0,416	0,232	0,350	58,7	−28,9	65,4	333
36 726		72,35	39,38	67,37	0,403	0,219	0,376	55,9	−35,4	66,2	327
37 736		67,62	35,52	71,08	0,388	0,203	0,408	50,9	−42,2	66,2	320
38 746		55,24	26,06	71,08	0,362	0,171	0,466	40,9	−49,9	64,5	309
39 823		13,22	7,40	75,87	0,136	0,076	0,786	−17,2	−69,8	71,9	256
U=D50		**96,63**	**100,00**	**81,17**	**0,347**	**0,359**	**0,359**	**0,0**	**0,0**	**0,0**	**0**

$a=p_{anu}=n_a p_a$=2,5[(1,000x−0,171+0,000z)/y] $A_{nu}=(a-a_u)\,Y$ $C_{ABnu}=[A^2_{nu}+B^2_{nu}]^{1/2}$
$b=p_{bnu}=n_b p_b$=−1,0[(0,000x+0,000+1,000z)/y] $B_{nu}=(b-b_u)\,Y$ h_{ABnu}=atan[B_{nu}/A_{nu}]

DE710−3N

CIE10 tristimulus values, chromatic values, and putities (n_a=2,5, n_b=−1,0).
Normalized *Ostwald (O)* tristimulus values (Y_w=100), ordered by hue angle.

no. O C	λ_n	*X*	*Y*	*Z*	*x*	*y*	*z*	A_{nu}	B_{nu}	C_{ABnu}	h_{ABnu}
		tristimulus values and chromaticities						***nu*-chromatic values**			
00 692		70,96	43,57	21,37	0,522	0,320	0,157	65,8	13,9	67,2	371
01 697		74,12	43,34	43,14	0,461	0,269	0,268	63,4	−7,9	63,9	352
02 708		75,07	42,59	56,88	0,430	0,244	0,325	60,7	−22,3	64,7	339
03 717		74,44	41,54	62,63	0,416	0,232	0,350	58,7	−28,9	65,4	333
04 726		72,35	39,38	67,37	0,403	0,219	0,376	55,9	−35,4	66,2	327
05 736M		67,62	35,52	71,08	0,388	0,203	0,408	50,9	−42,2	66,2	320
06 376		55,24	26,06	71,08	0,362	0,171	0,466	40,9	−49,9	64,5	309
07 458		13,22	7,40	75,87	0,136	0,076	0,786	−17,2	−69,8	71,9	256
08 460		13,26	8,89	77,33	0,133	0,089	0,777	−20,3	−70,1	73,0	253
09 462		13,28	10,68	78,42	0,129	0,104	0,765	−23,6	−69,7	73,6	251
10 462		13,28	10,68	78,42	0,129	0,104	0,765	−23,6	−69,7	73,6	251
11 468		13,66	17,92	80,19	0,122	0,160	0,717	−35,6	−65,6	74,7	241
12 471B		14,70	24,41	80,73	0,122	0,203	0,673	−44,4	−60,9	75,4	233
13 473		15,60	28,17	80,89	0,125	0,225	0,648	−48,8	−58,0	75,8	229
14 475		18,32	36,37	81,08	0,134	0,267	0,597	−56,8	−51,5	76,7	222
15 477		22,35	45,10	81,16	0,150	0,303	0,546	−63,0	−44,5	77,1	215
16 477		22,35	45,10	81,16	0,150	0,303	0,546	−63,0	−44,5	77,1	215
17 479		27,82	53,94	81,17	0,170	0,331	0,498	−66,3	−37,3	76,1	209
18 480C		30,64	58,21	79,19	0,182	0,346	0,471	−66,7	−31,9	73,9	205
19 484		25,67	56,42	59,80	0,180	0,397	0,421	−65,7	−14,0	67,2	192
20 492		22,50	56,65	38,03	0,192	0,483	0,324	−63,4	7,9	63,8	172
21 503		21,56	57,40	24,28	0,208	0,555	0,235	−60,7	22,2	64,6	159
22 512		22,19	58,45	18,53	0,223	0,589	0,186	−58,6	28,9	65,4	153
23 521G		24,28	60,61	13,79	0,246	0,614	0,139	−55,9	35,3	66,1	147
24 531		29,00	64,47	10,07	0,280	0,622	0,097	−50,9	42,2	66,1	140
25 541		41,39	73,93	10,07	0,330	0,589	0,080	−40,9	49,9	64,5	129
26 563		83,41	92,59	5,28	0,460	0,510	0,029	17,3	69,8	71,9	76
27 564		83,37	91,09	3,82	0,467	0,510	0,021	20,3	70,0	73,0	73
28 565		83,35	89,31	2,74	0,475	0,509	0,015	23,7	69,7	73,6	71
29 565		83,35	89,31	2,74	0,475	0,509	0,015	23,7	69,7	73,6	71
30 568		82,96	82,07	0,96	0,499	0,494	0,005	35,6	65,6	74,7	61
31 571		81,93	75,58	0,44	0,518	0,478	0,002	44,5	60,8	75,4	53
32 573Y		81,03	71,82	0,27	0,529	0,469	0,001	48,9	58,0	75,8	49
33 577		78,31	63,62	0,08	0,551	0,447	0,000	56,9	51,5	76,8	42
34 581		74,28	54,89	0,01	0,575	0,424	0,000	63,0	44,5	77,2	35
35 581		74,28	54,89	0,01	0,575	0,424	0,000	63,0	44,5	77,2	35
36 587R		68,81	46,05	0,00	0,599	0,400	0,000	66,3	37,3	76,1	29
37 589		67,60	44,04	0,93	0,600	0,391	0,008	66,8	34,8	75,3	27
38 692		70,96	43,57	21,37	0,522	0,320	0,157	65,8	13,9	67,2	11
39 697		74,12	43,34	43,14	0,461	0,269	0,268	63,4	−7,9	63,9	−7
U=D50		**96,63**	**100,00**	**81,17**	**0,347**	**0,359**	**0,359**	**0,0**	**0,0**	**0,0**	**0**

$a=p_{anu}=n_a p_a$=2,5[(1,000x−0,171+0,000z)/y] $A_{nu}=(a-a_u)\,Y$ $C_{ABnu}=[A^2_{nu}+B^2_{nu}]^{1/2}$
$b=p_{bnu}=n_b p_b$=−1,0[(0,000x+0,000+1,000z)/y] $B_{nu}=(b-b_u)\,Y$ h_{ABnu}=atan[B_{nu}/A_{nu}]

DE710−7N

CIE10 tristimulus values, chromatic values, and putities (n_a=2,5, n_b=−1,0).
Normalized *Ostwald (O)* tristimulus values (Y_w=100), ordered by wavelength.

no. O C	λ_n	*Y*	p_{an}	p_{bn}	p_{rn}	h_{abn}	p_{anu}	p_{bnu}	p_{rnu}	h_{abnu}
		***n*-purities**					***nu*-purities**			
00 376		26,06	2,79	−2,72	3,90	315	1,57	−1,91	2,47	309
01 458		7,40	−1,10	−10,25	10,31	263	−2,33	−9,44	9,72	256
02 460		8,89	−1,05	−8,68	8,75	263	−2,28	−7,87	8,20	253
03 462		10,68	−0,98	−7,34	7,40	262	−2,21	−6,53	6,89	251
04 462B		10,68	−0,98	−7,34	7,40	262	−2,21	−6,53	6,89	251
05 468		17,92	−0,76	−4,47	4,53	260	−1,98	−3,66	4,16	241
06 471		24,41	−0,59	−3,30	3,36	259	−1,82	−2,49	3,08	233
07 473		28,17	−0,50	−2,87	2,91	259	−1,73	−2,06	2,69	229
08 475		36,37	−0,33	−2,22	2,25	261	−1,56	−1,41	2,11	222
09 477		45,10	−0,16	−1,79	1,80	264	−1,39	−0,98	1,71	215
10 477C		45,10	−0,16	−1,79	1,80	264	−1,39	−0,98	1,71	215
11 479		53,94	−0,00	−1,50	1,50	269	−1,22	−0,69	1,41	209
12 480		58,21	0,08	−1,36	1,36	273	−1,14	−0,54	1,27	205
13 484		56,42	0,06	−1,05	1,06	273	−1,16	−0,24	1,19	192
14 492		56,65	0,10	−0,67	0,68	279	−1,11	0,14	1,12	172
15 503		57,40	0,17	−0,42	0,45	291	−1,05	0,38	1,12	159
16 512G		58,45	0,22	−0,31	0,38	305	−1,00	0,49	1,11	153
17 521		60,61	0,30	−0,22	0,38	323	−0,92	0,58	1,09	147
18 531		64,47	0,43	−0,15	0,46	340	−0,78	0,65	1,02	140
19 541		73,93	0,67	−0,13	0,68	348	−0,55	0,67	0,87	129
20 563		92,59	1,41	−0,05	1,41	357	0,18	0,75	0,77	76
21 564		91,09	1,45	−0,04	1,45	358	0,22	0,76	0,80	73
22 565		89,31	1,49	−0,03	1,49	358	0,26	0,78	0,82	71
23 565Y		89,31	1,49	−0,03	1,49	358	0,26	0,78	0,82	71
24 568		82,07	1,66	−0,01	1,66	359	0,43	0,79	0,91	61
25 571		75,58	1,81	−0,00	1,81	359	0,58	0,80	0,99	53
26 573		71,82	1,90	−0,00	1,90	359	0,68	0,80	1,05	49
27 577		63,62	2,12	−0,00	2,12	359	0,89	0,81	1,20	42
28 581		54,89	2,37	−0,00	2,37	359	1,14	0,81	1,40	35
29 581R		54,89	2,37	−0,00	2,37	359	1,14	0,81	1,40	35
30 587		46,05	2,66	0,00	2,66	0	1,44	0,81	1,65	29
31 589		44,04	2,74	−0,02	2,74	359	1,51	0,79	1,72	27
32 692		43,57	2,73	−0,49	2,78	349	1,51	0,32	1,54	11
33 697		43,34	2,69	−0,99	2,86	339	1,46	−0,18	1,47	352
34 708		42,59	2,65	−1,33	2,97	333	1,42	−0,52	1,52	339
35 717M		41,54	2,64	−1,50	3,04	330	1,41	−0,69	1,57	333
36 726		39,38	2,64	−1,71	3,15	327	1,42	−0,89	1,68	327
37 736		35,52	2,66	−2,00	3,33	323	1,43	−1,18	1,86	320
38 746		26,06	2,79	−2,72	3,90	315	1,57	−1,91	2,47	309
39 823		7,40	−1,10	−10,25	10,31	263	−2,33	−9,44	9,72	256
U=D50		**100,00**	**1,227**	**−0,811**	**1,471**	**326**	**0,0**	**0,0**	**0,0**	**0**

$a=p_{anu}=n_a p_a$=2,5[(1,000x−0,171+0,000z)/y] $A_{nu}=(a-a_u)\,Y$ $C_{ABnu}=[A^2_{nu}+B^2_{nu}]^{1/2}$
$b=p_{bnu}=n_b p_b$=−1,0[(0,000x+0,000+1,000z)/y] $B_{nu}=(b-b_u)\,Y$ h_{ABnu}=atan[B_{nu}/A_{nu}]

DE710−4N

CIE10 tristimulus values, chromatic values, and putities (n_a=2,5, n_b=−1,0).
Normalized *Ostwald (O)* tristimulus values (Y_w=100), ordered by hue angle.

no. O C	λ_n	*Y*	p_{an}	p_{bn}	p_{rn}	h_{abn}	p_{anu}	p_{bnu}	p_{rnu}	h_{abnu}
		***n*-purities**					***nu*-purities**			
00 692		43,57	2,73	−0,49	2,78	349	1,51	0,32	1,54	371
01 697		43,34	2,69	−0,99	2,86	339	1,46	−0,18	1,47	352
02 708		42,59	2,65	−1,33	2,97	333	1,42	−0,52	1,52	339
03 717		41,54	2,64	−1,50	3,04	330	1,41	−0,69	1,57	333
04 726		39,38	2,64	−1,71	3,15	327	1,42	−0,89	1,68	327
05 736M		35,52	2,66	−2,00	3,33	323	1,43	−1,18	1,86	320
06 376		26,06	2,79	−2,72	3,90	315	1,57	−1,91	2,47	309
07 458		7,40	−1,10	−10,25	10,31	263	−2,33	−9,44	9,72	256
08 460		8,89	−1,05	−8,68	8,75	263	−2,28	−7,87	8,20	253
09 462		10,68	−0,98	−7,34	7,40	262	−2,21	−6,53	6,89	251
10 462		10,68	−0,98	−7,34	7,40	262	−2,21	−6,53	6,89	251
11 468		17,92	−0,76	−4,47	4,53	260	−1,98	−3,66	4,16	241
12 471B		24,41	−0,59	−3,30	3,36	259	−1,82	−2,49	3,08	233
13 473		28,17	−0,50	−2,87	2,91	259	−1,73	−2,06	2,69	229
14 475		36,37	−0,33	−2,22	2,25	261	−1,56	−1,41	2,11	222
15 477		45,10	−0,16	−1,79	1,80	264	−1,39	−0,98	1,71	215
16 477		45,10	−0,16	−1,79	1,80	264	−1,39	−0,98	1,71	215
17 479		53,94	−0,00	−1,50	1,50	269	−1,22	−0,69	1,41	209
18 480C		58,21	0,08	−1,36	1,36	273	−1,14	−0,54	1,27	205
19 484		56,42	0,06	−1,05	1,06	273	−1,16	−0,24	1,19	192
20 492		56,65	0,10	−0,67	0,68	279	−1,11	0,14	1,12	172
21 503		57,40	0,17	−0,42	0,45	291	−1,05	0,38	1,12	159
22 512		58,45	0,22	−0,31	0,38	305	−1,00	0,49	1,11	153
23 521G		60,61	0,30	−0,22	0,38	323	−0,92	0,58	1,09	147
24 531		64,47	0,43	−0,15	0,46	340	−0,78	0,65	1,02	140
25 541		73,93	0,67	−0,13	0,68	348	−0,55	0,67	0,87	129
26 563		92,59	1,41	−0,05	1,41	357	0,18	0,75	0,77	76
27 564		91,09	1,45	−0,04	1,45	358	0,22	0,76	0,80	73
28 565		89,31	1,49	−0,03	1,49	358	0,26	0,78	0,82	71
29 565		89,31	1,49	−0,03	1,49	358	0,26	0,78	0,82	71
30 568		82,07	1,66	−0,01	1,66	359	0,43	0,79	0,91	61
31 571		75,58	1,81	−0,00	1,81	359	0,58	0,80	0,99	53
32 573Y		71,82	1,90	−0,00	1,90	359	0,68	0,80	1,05	49
33 577		63,62	2,12	−0,00	2,12	359	0,89	0,81	1,20	42
34 581		54,89	2,37	−0,00	2,37	359	1,14	0,81	1,40	35
35 581		54,89	2,37	−0,00	2,37	359	1,14	0,81	1,40	35
36 587R		46,05	2,66	0,00	2,66	0	1,44	0,81	1,65	29
37 589		44,04	2,74	−0,02	2,74	0	1,51	0,79	1,71	27
38 692		43,57	2,73	−0,49	2,78	−10	1,51	0,32	1,54	11
39 697		43,34	2,69	−0,99	2,86	−20	1,46	−0,18	1,47	−7
U=D50		**100,00**	**1,227**	**−0,811**	**1,471**	**326**	**0,0**	**0,0**	**0,0**	**0**

$a=p_{anu}=n_a p_a$=2,5[(1,000x−0,171+0,000z)/y] $A_{nu}=(a-a_u)\,Y$ $C_{ABnu}=[A^2_{nu}+B^2_{nu}]^{1/2}$
$b=p_{bnu}=n_b p_b$=−1,0[(0,000x+0,000+1,000z)/y] $B_{nu}=(b-b_u)\,Y$ h_{ABnu}=atan[B_{nu}/A_{nu}]

DE710−8N

DE710−7R_pchartl=1_xcolorl=1(CIE10)

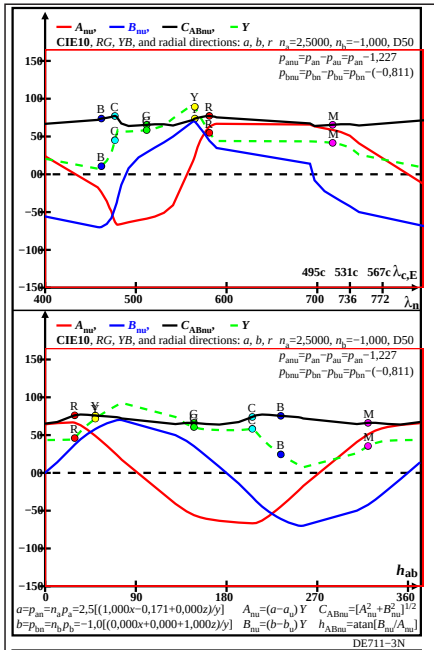

DE711−3N

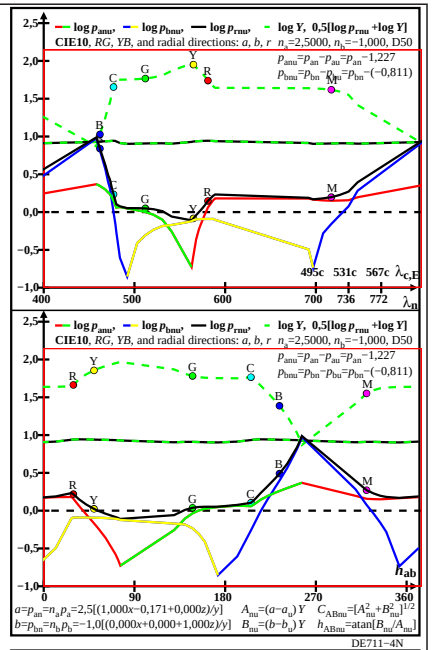

DE711−4N

X_w=96,63, Y_w=100,00, Z_w=81,17
x_w=0,3478 y_w=0,3599 z_w=0,2921
$a'_{1,nu}=(a_1-a_{1,u})\,Y_{18}\,[Y/Y_{18}]^{1/3}$
$b'_{1,nu}=(b_1-b_{1,u})\,Y_{18}\,[Y/Y_{18}]^{1/3}$
$a_1=n_a[(1,000x-0,171+0,000z)/y]$
$b_1=n_b[(0,000x+0,000+1,000z)/y]$
n_a = 2,50, n_b = −1,00
n = D50

$\lambda_{B,G,Y,R}$=475,503,574,494c,E nm
Ostwald colours (o), Y_w=100,00
max (m) chromatic value, D50
purity ($a_{1,10}$, $b_{1,10}$)$Y_{18}[Y/Y_{18}]^{1/3}$

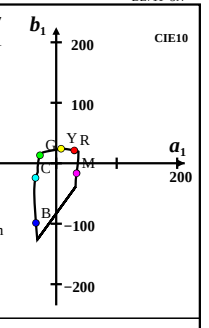

DE711−7N

X_w=96,63, Y_w=100,00, Z_w=81,17
x_w=0,3478 y_w=0,3599 z_w=0,2921
$A_1=(a_1-a_{1,u})\,Y/[Y/Y_{18}]^{1/3}$
$B_1=(b_1-b_{1,u})\,Y/[Y/Y_{18}]^{1/3}$
$a_1=n_a[(1,000x-0,171+0,000z)/y]$
$b_1=n_b[(0,000x+0,000+1,000z)/y]$
n_a = 2,50, n_b = −1,00
n = D50

$\lambda_{B,G,Y,R}$=475,503,574,494c,E nm
Ostwald colours (o), Y_w=100,00
max (m) chromatic value, D50
chroma ($A^*_{1,10}$, $B^*_{1,10}$)

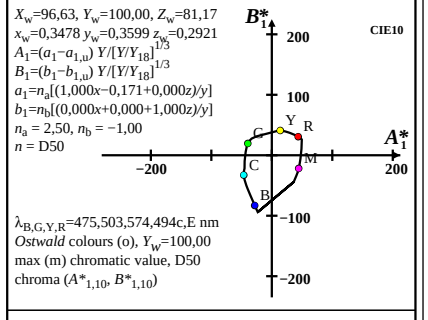

DE711−8N

X_w=96,63, Y_w=100,00, Z_w=81,17
x_w=0,3478 y_w=0,3599 z_w=0,2921
$a'_{1,nu}=(a_1-a_{1,u})\,Y_{18}$
$b'_{1,nu}=(b_1-b_{1,u})\,Y_{18}$
$a_1=n_a[(1,000x-0,171+0,000z)/y]$
$b_1=n_b[(0,000x+0,000+1,000z)/y]$
n_a = 2,50, n_b = −1,00
n = D50

$\lambda_{B,G,Y,R}$=475,503,574,494c,E nm
Ostwald colours (o), Y_w=100,00
max (m) chromatic value, D50
purity ($a_{1,10}$, $b_{1,10}$)Y_{18}

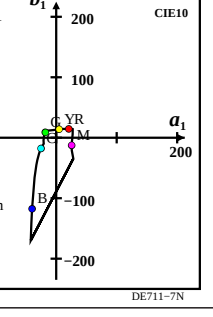

DE711−7N

X_w=96,63, Y_w=100,00, Z_w=81,17
x_w=0,3478 y_w=0,3599 z_w=0,2921
$A_1=(a_1-a_{1,u})\,Y$
$B_1=(b_1-b_{1,u})\,Y$
$a_1=n_a[(1,000x-0,171+0,000z)/y]$
$b_1=n_b[(0,000x+0,000+1,000z)/y]$
n_a = 2,50, n_b = −1,00
n = D50

$\lambda_{B,G,Y,R}$=475,503,574,494c,E nm
Ostwald colours (o), Y_w=100,00
max (m) chromatic value, D50
chromatic value ($A_{1,10}$, $B_{1,10}$)

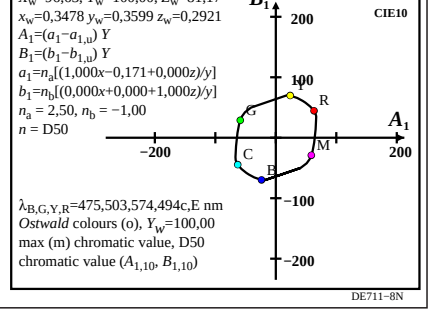

DE711−8N

DE711−7R_pchartl=1_xcolorl=1(CIE10)

CIEF02 tristimulus values, chromatic values, and putities (n_a=2,5, n_b=−1,0).
Normalized *Ostwald (O)* tristimulus values (Y_w=100), odered by wavelength.

no.	*O*	*C*	tristimulus values			and chromaticities			*nu*-chromatic values			
	λ_n		*X*	*Y*	*Z*	*x*	*y*	*z*	A_{nu}	B_{nu}	C_{ABnu}	h_{ABnu}
00	386		51,50	23,94	74,68	0,343	0,159	0,497	35,3	−55,0	65,3	302
01	460		12,38	6,54	76,19	0,130	0,068	0,801	−17,6	−70,8	72,9	255
02	465		12,41	9,58	78,25	0,123	0,095	0,780	−23,5	−70,3	74,1	251
03	467		12,45	11,64	78,87	0,120	0,113	0,766	−27,0	−69,3	74,4	248
04	473B		13,31	20,43	79,83	0,117	0,179	0,702	−40,1	−63,0	74,7	237
05	475		14,02	24,19	79,97	0,118	0,204	0,676	−44,9	−60,0	75,0	233
06	479		17,82	36,91	80,16	0,132	0,273	0,594	−58,1	−49,8	76,5	220
07	479		17,82	36,91	80,16	0,132	0,273	0,594	−58,1	−49,8	76,5	220
08	481		21,98	46,03	80,19	0,148	0,310	0,541	−64,5	−42,3	77,2	213
09	481		21,98	46,03	80,19	0,148	0,310	0,541	−64,5	−42,3	77,2	213
10	483C		27,52	55,03	80,21	0,169	0,338	0,492	−67,9	−34,9	76,3	207
11	484		28,85	57,21	79,07	0,174	0,346	0,478	−68,2	−32,0	75,4	205
12	489		25,36	57,41	57,70	0,180	0,408	0,410	−66,6	−10,5	67,5	188
13	497		22,33	57,50	36,81	0,191	0,492	0,315	−64,1	10,4	65,0	170
14	505		21,31	58,03	24,30	0,205	0,559	0,234	−61,8	23,3	66,0	159
15	512		21,41	58,69	18,79	0,216	0,593	0,190	−60,3	29,4	67,1	153
16	521G		22,42	59,91	14,10	0,232	0,621	0,146	−58,2	35,1	68,0	148
17	524		25,32	62,97	14,10	0,247	0,615	0,137	−57,2	37,6	68,5	146
18	539		30,29	66,55	7,57	0,290	0,637	0,072	−50,0	47,1	68,7	136
19	551		44,95	76,05	5,53	0,355	0,601	0,043	−34,4	56,9	66,6	121
20	568		84,08	93,45	4,02	0,463	0,514	0,022	18,5	72,7	75,1	75
21	568		84,08	93,45	4,02	0,463	0,514	0,022	18,5	72,7	75,1	75
22	569		84,05	90,41	1,96	0,476	0,512	0,011	24,4	72,3	76,3	71
23	570Y		84,00	88,35	1,33	0,483	0,508	0,007	27,9	71,2	76,5	68
24	573		83,15	79,56	0,38	0,509	0,487	0,002	41,1	65,0	76,9	57
25	575		82,44	75,80	0,24	0,520	0,478	0,001	45,8	62,0	77,1	53
26	580		78,64	63,07	0,05	0,554	0,444	0,000	59,0	51,7	78,5	41
27	580		78,64	63,07	0,05	0,554	0,444	0,000	59,0	51,7	78,5	41
28	585		74,48	53,96	0,02	0,579	0,420	0,000	65,4	44,3	79,0	34
29	590R		68,94	44,96	0,00	0,605	0,394	0,000	68,8	36,9	78,1	28
30	592		67,61	42,78	1,14	0,606	0,383	0,010	69,1	34,0	77,0	26
31	694		71,10	42,58	22,52	0,522	0,312	0,165	67,5	12,4	68,7	10
32	702		74,12	42,49	43,40	0,463	0,265	0,271	65,0	−8,4	65,6	352
33	710		75,15	41,96	55,91	0,434	0,242	0,323	62,7	−21,4	66,2	341
34	717		75,05	41,30	61,43	0,422	0,232	0,345	61,2	−27,4	67,1	335
35	726M		74,04	40,08	66,11	0,410	0,222	0,366	59,1	−33,1	67,8	330
36	729		71,14	37,02	66,11	0,408	0,212	0,379	58,1	−35,6	68,2	328
37	744		66,16	33,43	72,64	0,384	0,194	0,421	50,9	−45,1	68,0	318
38	756		51,50	23,94	74,68	0,343	0,159	0,497	35,3	−55,0	65,3	302
39	825		12,38	6,54	76,19	0,130	0,068	0,801	−17,6	−70,8	72,9	255
U=D50			**96,46**	**100,00**	**82,22**	**0,346**	**0,358**	**0,358**	**0,0**	**0,0**	**0,0**	**0**

$a=p_{anu}=n_a p_a=2{,}5[(1{,}000x-0{,}171+0{,}000z)/y]$ $A_{nu}=(a-a_u)\,Y$ $C_{ABnu}=[A^2_{nu}+B^2_{nu}]^{1/2}$
$b=p_{bnu}=n_b p_b=-1{,}0[(0{,}000x+0{,}000+1{,}000z)/y]$ $B_{nu}=(b-b_u)\,Y$ $h_{ABnu}=\mathrm{atan}[B_{nu}/A_{nu}]$

DE710−3N

CIEF02 tristimulus values, chromatic values, and putities (n_a=2,5, n_b=−1,0).
Normalized *Ostwald (O)* tristimulus values (Y_w=100), odered by wavelength.

no.	*O*	*C*	*n*-purities					*nu*-purities			
	λ_n		*Y*	p_{an}	p_{bn}	p_{rn}	h_{abn}	p_{anu}	p_{bnu}	p_{rnu}	h_{abnu}
00	386		23,94	2,69	−3,11	4,12	310	1,47	−2,29	2,73	302
01	460		6,54	−1,48	−11,64	11,74	262	−2,70	−10,82	11,16	255
02	465		9,58	−1,23	−8,16	8,26	261	−2,45	−7,34	7,74	251
03	467		11,64	−1,10	−6,77	6,86	260	−2,32	−5,95	6,39	248
04	473B		20,43	−0,74	−3,90	3,97	259	−1,96	−3,08	3,65	237
05	475		24,19	−0,63	−3,30	3,36	259	−1,85	−2,48	3,10	233
06	479		36,91	−0,35	−2,17	2,20	260	−1,57	−1,34	2,07	220
07	479		36,91	−0,35	−2,17	2,20	260	−1,57	−1,34	2,07	220
08	481		46,03	−0,18	−1,74	1,75	264	−1,40	−0,92	1,67	213
09	481		46,03	−0,18	−1,74	1,75	264	−1,40	−0,92	1,67	213
10	483C		55,03	−0,01	−1,45	1,45	269	−1,23	−0,63	1,38	207
11	484		57,21	0,02	−1,38	1,38	271	−1,19	−0,56	1,31	205
12	489		57,41	0,05	−1,00	1,00	273	−1,16	−0,18	1,17	188
13	497		57,50	0,10	−0,64	0,64	279	−1,11	0,18	1,13	170
14	505		58,03	0,15	−0,41	0,44	290	−1,06	0,40	1,13	159
15	512		58,69	0,19	−0,32	0,37	300	−1,02	0,50	1,14	153
16	521G		59,91	0,24	−0,23	0,34	316	−0,97	0,58	1,13	148
17	524		62,97	0,31	−0,22	0,38	324	−0,90	0,59	1,08	146
18	539		66,55	0,46	−0,11	0,48	346	−0,75	0,70	1,03	136
19	551		76,05	0,76	−0,07	0,76	354	−0,45	0,74	0,87	121
20	568		93,45	1,41	−0,04	1,41	358	0,19	0,77	0,80	75
21	568		93,45	1,41	−0,04	1,41	358	0,19	0,77	0,80	75
22	569		90,41	1,48	−0,02	1,49	359	0,27	0,80	0,84	71
23	570Y		88,35	1,53	−0,01	1,53	359	0,31	0,80	0,86	68
24	573		79,56	1,73	−0,00	1,73	359	0,51	0,81	0,96	57
25	575		75,80	1,82	−0,00	1,82	359	0,60	0,81	1,01	53
26	580		63,07	2,15	−0,00	2,15	359	0,93	0,82	1,24	41
27	580		63,07	2,15	−0,00	2,15	359	0,93	0,82	1,24	41
28	585		53,96	2,43	−0,00	2,43	359	1,21	0,82	1,46	34
29	590R		44,96	2,75	0,00	2,75	0	1,53	0,82	1,73	28
30	592		42,78	2,83	−0,02	2,83	359	1,61	0,79	1,80	26
31	694		42,58	2,80	−0,52	2,85	349	1,58	0,29	1,61	10
32	702		42,49	2,75	−1,02	2,93	339	1,53	−0,19	1,54	352
33	710		41,96	2,71	−1,33	3,02	333	1,49	−0,51	1,57	341
34	717		41,30	2,70	−1,48	3,08	331	1,48	−0,66	1,62	335
35	726M		40,08	2,69	−1,64	3,16	328	1,47	−0,82	1,69	330
36	729		37,02	2,79	−1,78	3,31	327	1,57	−0,96	1,84	328
37	744		33,43	2,74	−2,17	3,49	321	1,52	−1,35	2,03	318
38	756		23,94	2,69	−3,11	4,12	310	1,47	−2,29	2,73	302
39	825		6,54	−1,48	−11,64	11,74	262	−2,70	−10,82	11,16	255
U=D50			**100,00**	**1,219**	**−0,821**	**1,470**	**326**	**0,0**	**0,0**	**0,0**	**0**

$a=p_{anu}=n_a p_a=2{,}5[(1{,}000x-0{,}171+0{,}000z)/y]$ $A_{nu}=(a-a_u)\,Y$ $C_{ABnu}=[A^2_{nu}+B^2_{nu}]^{1/2}$
$b=p_{bnu}=n_b p_b=-1{,}0[(0{,}000x+0{,}000+1{,}000z)/y]$ $B_{nu}=(b-b_u)\,Y$ $h_{ABnu}=\mathrm{atan}[B_{nu}/A_{nu}]$

DE710−4N

CIEF02 tristimulus values, chromatic values, and putities (n_a=2,5, n_b=−1,0).
Normalized *Ostwald (O)* tristimulus values (Y_w=100), odered by hue angle.

no.	*O*	*C*	tristimulus values			and chromaticities			*nu*-chromatic values			
	λ_n		*X*	*Y*	*Z*	*x*	*y*	*z*	A_{nu}	B_{nu}	C_{ABnu}	h_{ABnu}
00	592		67,61	42,78	1,14	0,606	0,383	0,010	69,1	34,0	77,0	386
01	694		71,10	42,58	22,52	0,522	0,312	0,165	67,5	12,4	68,7	370
02	702		74,12	42,49	43,40	0,463	0,265	0,271	65,0	−8,4	65,6	352
03	710		75,15	41,96	55,91	0,434	0,242	0,323	62,7	−21,4	66,2	341
04	717		75,05	41,30	61,43	0,422	0,232	0,345	61,2	−27,4	67,1	335
05	726M		74,04	40,08	66,11	0,410	0,222	0,366	59,1	−33,1	67,8	330
06	729		71,14	37,02	66,11	0,408	0,212	0,379	58,1	−35,6	68,2	328
07	744		66,16	33,43	72,64	0,384	0,194	0,421	50,9	−45,1	68,0	318
08	386		51,50	23,94	74,68	0,343	0,159	0,497	35,3	−55,0	65,3	302
09	460		12,38	6,54	76,19	0,130	0,068	0,801	−17,6	−70,8	72,9	255
10	465		12,41	9,58	78,25	0,123	0,095	0,780	−23,5	−70,3	74,1	251
11	467		12,45	11,64	78,87	0,120	0,113	0,766	−27,0	−69,3	74,4	248
12	473B		13,31	20,43	79,83	0,117	0,179	0,702	−40,1	−63,0	74,7	237
13	475		14,02	24,19	79,97	0,118	0,204	0,676	−44,9	−60,0	75,0	233
14	479		17,82	36,91	80,16	0,132	0,273	0,594	−58,1	−49,8	76,5	220
15	479		17,82	36,91	80,16	0,132	0,273	0,594	−58,1	−49,8	76,5	220
16	481		21,98	46,03	80,19	0,148	0,310	0,541	−64,5	−42,3	77,2	213
17	481		21,98	46,03	80,19	0,148	0,310	0,541	−64,5	−42,3	77,2	213
18	483C		27,52	55,03	80,21	0,169	0,338	0,492	−67,9	−34,9	76,3	207
19	484		28,85	57,21	79,07	0,174	0,346	0,478	−68,2	−32,0	75,4	205
20	489		25,36	57,41	57,70	0,180	0,408	0,410	−66,6	−10,5	67,5	188
21	497		22,33	57,50	36,81	0,191	0,492	0,315	−64,1	10,4	65,0	170
22	505		21,31	58,03	24,30	0,205	0,559	0,234	−61,8	23,3	66,0	159
23	512G		21,41	58,69	18,79	0,216	0,593	0,190	−60,3	29,4	67,1	153
24	521		22,42	59,91	14,10	0,232	0,621	0,146	−58,2	35,1	68,0	148
25	524		25,32	62,97	14,10	0,247	0,615	0,137	−57,2	37,6	68,5	146
26	539		30,29	66,55	7,57	0,290	0,637	0,072	−50,0	47,1	68,7	136
27	551		44,95	76,05	5,53	0,355	0,601	0,043	−34,4	56,9	66,6	121
28	568		84,08	93,45	4,02	0,463	0,514	0,022	18,5	72,7	75,1	75
29	568		84,08	93,45	4,02	0,463	0,514	0,022	18,5	72,7	75,1	75
30	569		84,05	90,41	1,96	0,476	0,512	0,011	24,4	72,3	76,3	71
31	570		84,00	88,35	1,33	0,483	0,508	0,007	27,9	71,2	76,5	68
32	573Y		83,15	79,56	0,38	0,509	0,487	0,002	41,1	65,0	76,9	57
33	575		82,44	75,80	0,24	0,520	0,478	0,001	45,8	62,0	77,1	53
34	580		78,64	63,07	0,05	0,554	0,444	0,000	59,0	51,7	78,5	41
35	580		78,64	63,07	0,05	0,554	0,444	0,000	59,0	51,7	78,5	41
36	585R		74,48	53,96	0,02	0,579	0,420	0,000	65,4	44,3	79,0	34
37	590		68,94	44,96	0,00	0,605	0,394	0,000	68,8	36,9	78,1	28
38	592		67,61	42,78	1,14	0,606	0,383	0,010	69,1	34,0	77,0	26
39	694		71,10	42,58	22,52	0,522	0,312	0,165	67,5	12,4	68,7	10
U=D50			**96,46**	**100,00**	**82,22**	**0,346**	**0,358**	**0,358**	**0,0**	**0,0**	**0,0**	**0**

$a=p_{anu}=n_a p_a=2{,}5[(1{,}000x-0{,}171+0{,}000z)/y]$ $A_{nu}=(a-a_u)\,Y$ $C_{ABnu}=[A^2_{nu}+B^2_{nu}]^{1/2}$
$b=p_{bnu}=n_b p_b=-1{,}0[(0{,}000x+0{,}000+1{,}000z)/y]$ $B_{nu}=(b-b_u)\,Y$ $h_{ABnu}=\mathrm{atan}[B_{nu}/A_{nu}]$

DE710−7N

DE710−7R_pchartl=1_xcolorl=2(CIEF02)

CIEF02 tristimulus values, chromatic values, and putities (n_a=2,5, n_b=−1,0).
Normalized *Ostwald (O)* tristimulus values (Y_w=100), odered by hue angle.

no.	*O*	*C*	*n*-purities					*nu*-purities			
	λ_n		*Y*	p_{an}	p_{bn}	p_{rn}	h_{abn}	p_{anu}	p_{bnu}	p_{rnu}	h_{abnu}
00	592		42,78	2,83	−0,02	2,83	359	1,61	0,79	1,80	386
01	694		42,58	2,80	−0,52	2,85	349	1,58	0,29	1,61	370
02	702		42,49	2,75	−1,02	2,93	339	1,53	−0,19	1,54	352
03	710		41,96	2,71	−1,33	3,02	333	1,49	−0,51	1,57	341
04	717		41,30	2,70	−1,48	3,08	331	1,48	−0,66	1,62	335
05	726M		40,08	2,69	−1,64	3,16	328	1,47	−0,82	1,69	330
06	729		37,02	2,79	−1,78	3,31	327	1,57	−0,96	1,84	328
07	744		33,43	2,74	−2,17	3,49	321	1,52	−1,35	2,03	318
08	386		23,94	2,69	−3,11	4,12	310	1,47	−2,29	2,73	302
09	460		6,54	−1,48	−11,64	11,74	262	−2,70	−10,82	11,16	255
10	465		9,58	−1,23	−8,16	8,26	261	−2,45	−7,34	7,74	251
11	467		11,64	−1,10	−6,77	6,86	260	−2,32	−5,95	6,39	248
12	473B		20,43	−0,74	−3,90	3,97	259	−1,96	−3,08	3,65	237
13	475		24,19	−0,63	−3,30	3,36	259	−1,85	−2,48	3,10	233
14	479		36,91	−0,35	−2,17	2,20	260	−1,57	−1,34	2,07	220
15	479		36,91	−0,35	−2,17	2,20	260	−1,57	−1,34	2,07	220
16	481		46,03	−0,18	−1,74	1,75	264	−1,40	−0,92	1,67	213
17	481		46,03	−0,18	−1,74	1,75	264	−1,40	−0,92	1,67	213
18	483C		55,03	−0,01	−1,45	1,45	269	−1,23	−0,63	1,38	207
19	484		57,21	0,02	−1,38	1,38	271	−1,19	−0,56	1,31	205
20	489		57,41	0,05	−1,00	1,00	273	−1,16	−0,18	1,17	188
21	497		57,50	0,10	−0,64	0,64	279	−1,11	0,18	1,13	170
22	505		58,03	0,15	−0,41	0,44	290	−1,06	0,40	1,13	159
23	512G		58,69	0,19	−0,32	0,37	300	−1,02	0,50	1,14	153
24	521		59,91	0,24	−0,23	0,34	316	−0,97	0,58	1,13	148
25	524		62,97	0,31	−0,22	0,38	324	−0,90	0,59	1,08	146
26	539		66,55	0,46	−0,11	0,48	346	−0,75	0,70	1,03	136
27	551		76,05	0,76	−0,07	0,76	354	−0,45	0,74	0,87	121
28	568		93,45	1,41	−0,04	1,41	358	0,19	0,77	0,80	75
29	568		93,45	1,41	−0,04	1,41	358	0,19	0,77	0,80	75
30	569		90,41	1,48	−0,02	1,49	359	0,27	0,80	0,84	71
31	570		88,35	1,53	−0,01	1,53	359	0,31	0,80	0,86	68
32	573Y		79,56	1,73	−0,00	1,73	359	0,51	0,81	0,96	57
33	575		75,80	1,82	−0,00	1,82	359	0,60	0,81	1,01	53
34	580		63,07	2,15	−0,00	2,15	359	0,93	0,82	1,24	41
35	580		63,07	2,15	−0,00	2,15	359	0,93	0,82	1,24	41
36	585R		53,96	2,43	−0,00	2,43	359	1,21	0,82	1,46	34
37	590		44,96	2,75	0,00	2,75	0	1,53	0,82	1,73	28
38	592		42,78	2,83	−0,02	2,83	0	1,61	0,79	1,80	26
39	694		42,58	2,80	−0,52	2,85	−10	1,58	0,29	1,61	10
U=D50			**100,00**	**1,219**	**−0,821**	**1,470**	**326**	**0,0**	**0,0**	**0,0**	**0**

$a=p_{anu}=n_a p_a=2{,}5[(1{,}000x-0{,}171+0{,}000z)/y]$ $A_{nu}=(a-a_u)\,Y$ $C_{ABnu}=[A^2_{nu}+B^2_{nu}]^{1/2}$
$b=p_{bnu}=n_b p_b=-1{,}0[(0{,}000x+0{,}000+1{,}000z)/y]$ $B_{nu}=(b-b_u)\,Y$ $h_{ABnu}=\mathrm{atan}[B_{nu}/A_{nu}]$

DE710−8N

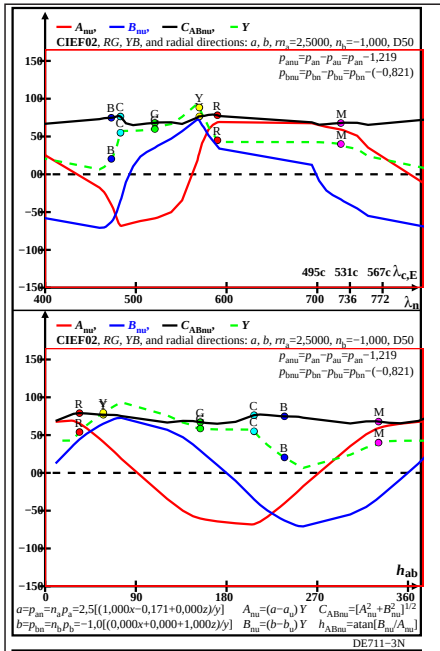

DE711−3N

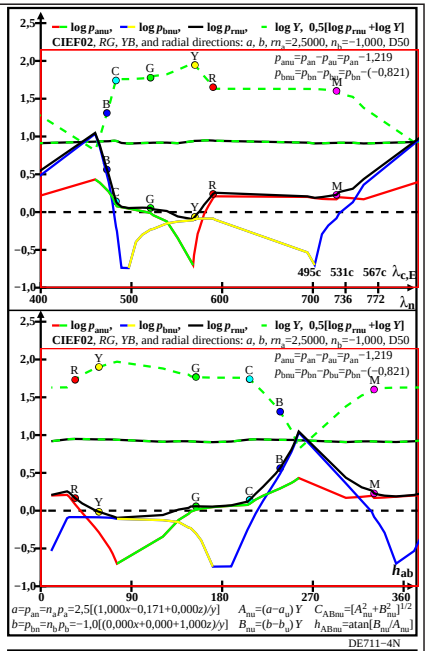

DE711−4N

X_w=96,46, Y_w=100,00, Z_w=82,22
x_w=0,3461 y_w=0,3588 z_w=0,2950
$a'_{1,nu}=(a_1-a_{1,u})\,Y_{18}\,[Y/Y_{18}]^{1/3}$
$b'_{1,nu}=(b_1-b_{1,u})\,Y_{18}\,[Y/Y_{18}]^{1/3}$
$a_1=n_a[(1{,}000x-0{,}171+0{,}000z)/y]$
$b_1=n_b[(0{,}000x+0{,}000+1{,}000z)/y]$
n_a = 2,50, n_b = −1,00
n = D50

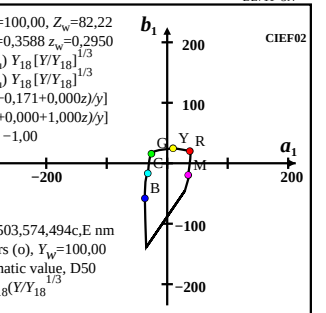

$\lambda_{B,G,Y,R}$=475,503,574,494c,E nm
Ostwald colours (o), Y_w=100,00
max (m) chromatic value, D50
purity (q_1, b_1)Y_{18} $(Y/Y_{18}^{1/3}$

DE711−7N

X_w=96,46, Y_w=100,00, Z_w=82,22
x_w=0,3461 y_w=0,3588 z_w=0,2950
$A_1=(a_1-a_{1,u})\,Y/[Y/Y_{18}]^{1/3}$
$B_1=(b_1-b_{1,u})\,Y/[Y/Y_{18}]^{1/3}$
$a_1=n_a[(1{,}000x-0{,}171+0{,}000z)/y]$
$b_1=n_b[(0{,}000x+0{,}000+1{,}000z)/y]$
n_a = 2,50, n_b = −1,00
n = D50

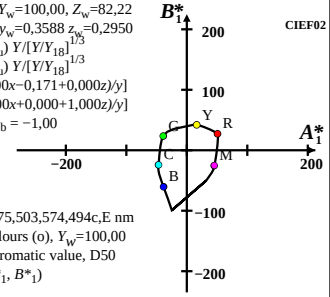

$\lambda_{B,G,Y,R}$=475,503,574,494c,E nm
Ostwald colours (o), Y_w=100,00
max (m) chromatic value, D50
chroma (A^*_1, B^*_1)

DE711−8N

X_w=96,46, Y_w=100,00, Z_w=82,22
x_w=0,3461 y_w=0,3588 z_w=0,2950
$a'_{1,nu}=(a_1-a_{1,u})\,Y_{18}$
$b_{1,nu}=(b_1-b_{1,u})\,Y_{18}$
$a_1=n_a[(1{,}000x-0{,}171+0{,}000z)/y]$
$b_1=n_b[(0{,}000x+0{,}000+1{,}000z)/y]$
n_a = 2,50, n_b = −1,00
n = D50

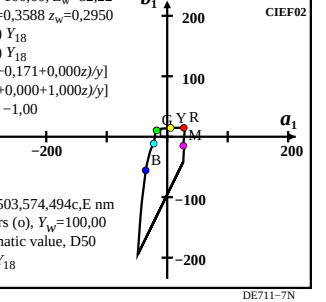

$\lambda_{B,G,Y,R}$=475,503,574,494c,E nm
Ostwald colours (o), Y_w=100,00
max (m) chromatic value, D50
purity (a_1, b_1)Y_{18}

DE711−7N

X_w=96,46, Y_w=100,00, Z_w=82,22
x_w=0,3461 y_w=0,3588 z_w=0,2950
$A_1=(a_1-a_{1,u})\,Y$
$B_1=(b_1-b_{1,u})\,Y$
$a_1=n_a[(1{,}000x-0{,}171+0{,}000z)/y]$
$b_1=n_b[(0{,}000x+0{,}000+1{,}000z)/y]$
n_a = 2,50, n_b = −1,00
n = D50

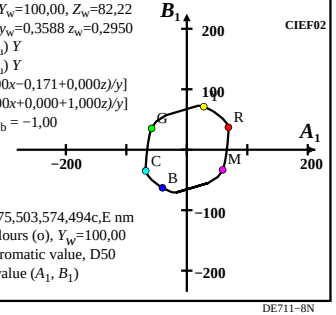

$\lambda_{B,G,Y,R}$=475,503,574,494c,E nm
Ostwald colours (o), Y_w=100,00
max (m) chromatic value, D50
chromatic value (A_1, B_1)

DE711−8N

DE711−7R_pchartl=1_xcolorl=2(CIEF02)

CIEF10 tristimulus values, chromatic values, and putities (n_a=2,5, n_b=−1,0).
Normalized *Ostwald (O)* tristimulus values (Y_w=100), ordered by wavelength.

no. O C	λ_n	*X*	*Y*	*Z*	*x*	*y*	*z*	A_{nu}	B_{nu}	C_{ABnu}	h_{ABnu}
00	380	52,92	25,78	74,65	0,345	0,168	0,486	35,0	−53,7	64,1	303
01	455	13,14	6,61	74,65	0,139	0,070	0,790	−15,6	−69,2	71,0	257
02	460	13,28	9,49	77,94	0,131	0,094	0,773	−21,5	−70,2	73,4	252
03	462	13,30	11,32	78,97	0,128	0,109	0,762	−24,9	−69,7	74,1	250
04	464B	13,34	13,45	79,69	0,125	0,126	0,748	−28,7	−68,7	74,5	247
05	468	13,69	18,67	80,47	0,121	0,165	0,713	−36,9	−65,3	75,0	240
06	471	14,73	25,21	80,80	0,121	0,208	0,669	−45,8	−60,3	75,7	232
07	472	15,63	28,96	80,89	0,124	0,230	0,644	−50,2	−57,4	76,2	228
08	475	18,33	37,06	80,98	0,134	0,271	0,593	−58,0	−50,9	77,2	221
09	477	22,39	45,70	81,01	0,150	0,306	0,543	−64,0	−43,9	77,6	214
10	477C	24,94	50,08	81,01	0,159	0,320	0,519	−65,9	−40,4	77,4	211
11	479	30,58	58,60	78,68	0,182	0,349	0,468	−67,4	−31,2	74,3	204
12	479	29,07	56,38	80,12	0,175	0,340	0,483	−67,4	−34,4	75,7	207
13	484	25,63	56,72	59,32	0,180	0,400	0,418	−66,2	−13,3	67,6	191
14	492	22,37	56,85	36,73	0,192	0,490	0,316	−63,6	9,3	64,2	171
15	503	21,57	57,63	22,95	0,211	0,564	0,224	−60,6	23,7	65,1	158
16	511G	22,30	58,68	17,25	0,227	0,597	0,175	−58,4	30,2	65,8	152
17	521	24,56	60,88	12,62	0,250	0,620	0,128	−55,4	36,6	66,4	146
18	532	29,89	65,12	9,04	0,287	0,625	0,086	−49,9	43,7	66,3	138
19	545	43,82	74,21	6,37	0,352	0,596	0,051	−34,9	53,7	64,1	123
20	563	83,59	93,38	6,37	0,455	0,509	0,034	15,6	69,2	71,0	77
21	564	83,45	90,50	3,08	0,471	0,511	0,017	21,5	70,2	73,4	72
22	565	83,43	88,67	2,06	0,479	0,509	0,011	24,9	69,7	74,1	70
23	566Y	83,39	86,54	1,34	0,486	0,505	0,007	28,7	68,7	74,5	67
24	568	83,04	81,32	0,56	0,503	0,493	0,003	37,0	65,3	75,0	60
25	571	82,00	74,78	0,23	0,522	0,476	0,001	45,8	60,3	75,7	52
26	573	81,10	71,03	0,14	0,532	0,466	0,000	50,2	57,3	76,2	48
27	577	78,40	62,93	0,05	0,554	0,445	0,000	58,1	50,9	77,2	41
28	581	74,33	54,29	0,02	0,577	0,421	0,000	64,0	43,9	77,6	34
29	584R	71,79	49,91	0,01	0,589	0,410	0,000	66,0	40,4	77,4	31
30	591	66,15	41,39	2,33	0,602	0,376	0,021	67,4	31,1	74,3	24
31	588	67,67	43,61	0,91	0,603	0,388	0,008	67,5	34,4	75,8	27
32	689	71,10	43,27	21,71	0,522	0,317	0,159	66,3	13,3	67,6	11
33	697	74,36	43,14	44,30	0,459	0,266	0,273	63,6	−9,3	64,3	351
34	708	75,16	42,36	58,08	0,428	0,241	0,330	60,6	−23,7	65,1	338
35	716M	74,43	41,31	63,78	0,414	0,230	0,355	58,4	−30,3	65,8	332
36	726	72,17	39,11	68,41	0,401	0,217	0,380	55,4	−36,7	66,5	326
37	737	66,83	34,86	71,99	0,384	0,200	0,414	49,9	−43,7	66,3	318
38	750	52,92	25,78	74,65	0,345	0,168	0,486	35,0	−53,7	64,1	303
39	820	13,14	6,61	74,65	0,139	0,070	0,790	−15,6	−69,2	71,0	257
U=D50		**96,74**	**100,00**	**81,03**	**0,348**	**0,360**	**0,360**	**0,0**	**0,0**	**0,0**	**0**

$a=p_{anu}=n_a p_a=2{,}5[(1{,}000x-0{,}171+0{,}000z)/y]$ $A_{nu}=(a-a_u)\,Y$ $C_{ABnu}=[A^2_{nu}+B^2_{nu}]^{1/2}$
$b=p_{bnu}=n_b p_b=-1{,}0[(0{,}000x+0{,}000+1{,}000z)/y]$ $B_{nu}=(b-b_u)\,Y$ $h_{ABnu}=\mathrm{atan}[B_{nu}/A_{nu}]$

DE710−3N

CIEF10 tristimulus values, chromatic values, and putities (n_a=2,5, n_b=−1,0).
Normalized *Ostwald (O)* tristimulus values (Y_w=100), ordered by hue angle.

no. O C	λ_n	*X*	*Y*	*Z*	*x*	*y*	*z*	A_{nu}	B_{nu}	C_{ABnu}	h_{ABnu}
00	588	67,67	43,61	0,91	0,603	0,388	0,008	67,5	34,4	75,8	387
01	689	71,10	43,27	21,71	0,522	0,317	0,159	66,3	13,3	67,6	371
02	697	74,36	43,14	44,30	0,459	0,266	0,273	63,6	−9,3	64,3	351
03	708	75,16	42,36	58,08	0,428	0,241	0,330	60,6	−23,7	65,1	338
04	716	74,43	41,31	63,78	0,414	0,230	0,355	58,4	−30,3	65,8	332
05	726M	72,17	39,11	68,41	0,401	0,217	0,380	55,4	−36,7	66,5	326
06	737	66,83	34,86	71,99	0,384	0,200	0,414	49,9	−43,7	66,3	318
07	380	52,92	25,78	74,65	0,345	0,168	0,486	35,0	−53,7	64,1	303
08	455	13,14	6,61	74,65	0,139	0,070	0,790	−15,6	−69,2	71,0	257
09	460	13,28	9,49	77,94	0,131	0,094	0,773	−21,5	−70,2	73,4	252
10	462	13,30	11,32	78,97	0,128	0,109	0,762	−24,9	−69,7	74,1	250
11	464	13,34	13,45	79,69	0,125	0,126	0,748	−28,7	−68,7	74,5	247
12	468B	13,69	18,67	80,47	0,121	0,165	0,713	−36,9	−65,3	75,0	240
13	471	14,73	25,21	80,80	0,121	0,208	0,669	−45,8	−60,3	75,7	232
14	472	15,63	28,96	80,89	0,124	0,230	0,644	−50,2	−57,4	76,2	228
15	475	18,33	37,06	80,98	0,134	0,271	0,593	−58,0	−50,9	77,2	221
16	477	22,39	45,70	81,01	0,150	0,306	0,543	−64,0	−43,9	77,6	214
17	477	24,94	50,08	81,01	0,159	0,320	0,519	−65,9	−40,4	77,4	211
18	479C	30,58	58,60	78,68	0,182	0,349	0,468	−67,4	−31,2	74,3	204
19	479	29,07	56,38	80,12	0,175	0,340	0,483	−67,4	−34,4	75,7	207
20	484	25,63	56,72	59,32	0,180	0,400	0,418	−66,2	−13,3	67,6	191
21	492	22,37	56,85	36,73	0,192	0,490	0,316	−63,6	9,3	64,2	171
22	503	21,57	57,63	22,95	0,211	0,564	0,224	−60,6	23,7	65,1	158
23	511G	22,30	58,68	17,25	0,227	0,597	0,175	−58,4	30,2	65,8	152
24	521	24,56	60,88	12,62	0,250	0,620	0,128	−55,4	36,6	66,4	146
25	532	29,89	65,12	9,04	0,287	0,625	0,086	−49,9	43,7	66,3	138
26	545	43,82	74,21	6,37	0,352	0,596	0,051	−34,9	53,7	64,1	123
27	563	83,59	93,38	6,37	0,455	0,509	0,034	15,6	69,2	71,0	77
28	564	83,45	90,50	3,08	0,471	0,511	0,017	21,5	70,2	73,4	72
29	565	83,43	88,67	2,06	0,479	0,509	0,011	24,9	69,7	74,1	70
30	566	83,39	86,54	1,34	0,486	0,505	0,007	28,7	68,7	74,5	67
31	568	83,04	81,32	0,56	0,503	0,493	0,003	37,0	65,3	75,0	60
32	571Y	82,00	74,78	0,23	0,522	0,476	0,001	45,8	60,3	75,7	52
33	573	81,10	71,03	0,14	0,532	0,466	0,000	50,2	57,3	76,2	48
34	577	78,40	62,93	0,05	0,554	0,445	0,000	58,1	50,9	77,2	41
35	581	74,33	54,29	0,02	0,577	0,421	0,000	64,0	43,9	77,6	34
36	584R	71,79	49,91	0,01	0,589	0,410	0,000	66,0	40,4	77,4	31
37	591	66,15	41,39	2,33	0,602	0,376	0,021	67,4	31,1	74,3	24
38	588	67,67	43,61	0,91	0,603	0,388	0,008	67,5	34,4	75,8	27
39	689	71,10	43,27	21,71	0,522	0,317	0,159	66,3	13,3	67,6	11
U=D50		**96,74**	**100,00**	**81,03**	**0,348**	**0,360**	**0,360**	**0,0**	**0,0**	**0,0**	**0**

$a=p_{anu}=n_a p_a=2{,}5[(1{,}000x-0{,}171+0{,}000z)/y]$ $A_{nu}=(a-a_u)\,Y$ $C_{ABnu}=[A^2_{nu}+B^2_{nu}]^{1/2}$
$b=p_{bnu}=n_b p_b=-1{,}0[(0{,}000x+0{,}000+1{,}000z)/y]$ $B_{nu}=(b-b_u)\,Y$ $h_{ABnu}=\mathrm{atan}[B_{nu}/A_{nu}]$

DE710−7N

DE710−7R_pchartl=1_xcolorl=3(CIEF10)

CIEF10 tristimulus values, chromatic values, and putities (n_a=2,5, n_b=−1,0).
Normalized *Ostwald (O)* tristimulus values (Y_w=100), ordered by wavelength.

no. O C	λ_n	*Y*	p_{an}	p_{bn}	p_{rn}	h_{abn}	p_{anu}	p_{bnu}	p_{rnu}	h_{abnu}
00	380	25,78	2,58	−2,89	3,88	311	1,35	−2,08	2,48	303
01	455	6,61	−1,13	−11,29	11,35	264	−2,36	−10,48	10,74	257
02	460	9,49	−1,03	−8,21	8,27	262	−2,26	−7,40	7,74	252
03	462	11,32	−0,97	−6,97	7,04	262	−2,20	−6,16	6,54	250
04	464B	13,45	−0,90	−5,92	5,99	261	−2,13	−5,11	5,54	247
05	468	18,67	−0,75	−4,31	4,37	260	−1,98	−3,50	4,02	240
06	471	25,21	−0,58	−3,20	3,25	259	−1,81	−2,39	3,00	232
07	472	28,96	−0,50	−2,79	2,83	259	−1,73	−1,98	2,63	228
08	475	37,06	−0,33	−2,18	2,21	261	−1,56	−1,37	2,08	221
09	477	45,70	−0,16	−1,77	1,78	264	−1,40	−0,96	1,69	214
10	477C	50,08	−0,08	−1,61	1,62	266	−1,31	−0,80	1,54	211
11	479	58,60	0,08	−1,34	1,34	273	−1,15	−0,53	1,26	204
12	479	56,38	0,03	−1,42	1,42	271	−1,19	−0,61	1,34	207
13	484	56,72	0,06	−1,04	1,04	273	−1,16	−0,23	1,19	191
14	492	56,85	0,11	−0,64	0,65	279	−1,11	0,16	1,13	171
15	503	57,63	0,17	−0,39	0,43	294	−1,05	0,41	1,13	158
16	511G	58,68	0,23	−0,29	0,37	308	−0,99	0,51	1,12	152
17	521	60,88	0,31	−0,20	0,38	327	−0,91	0,60	1,09	146
18	532	65,12	0,46	−0,13	0,48	343	−0,76	0,67	1,01	138
19	545	74,21	0,75	−0,08	0,76	353	−0,47	0,72	0,86	123
20	563	93,38	1,39	−0,06	1,40	357	0,16	0,74	0,76	77
21	564	90,50	1,46	−0,03	1,46	358	0,23	0,77	0,81	72
22	565	88,67	1,51	−0,02	1,51	359	0,28	0,78	0,83	70
23	566Y	86,54	1,56	−0,01	1,56	359	0,33	0,79	0,86	67
24	568	81,32	1,68	−0,00	1,68	359	0,45	0,80	0,92	60
25	571	74,78	1,84	−0,00	1,84	359	0,61	0,80	1,01	52
26	573	71,03	1,93	−0,00	1,93	359	0,70	0,80	1,07	48
27	577	62,93	2,15	−0,00	2,15	359	0,92	0,80	1,22	41
28	581	54,29	2,41	−0,00	2,41	359	1,17	0,80	1,43	34
29	584R	49,91	2,55	−0,00	2,55	359	1,32	0,80	1,55	31
30	591	41,39	2,86	−0,05	2,86	358	1,62	0,75	1,79	24
31	588	43,61	2,77	−0,02	2,77	359	1,54	0,78	1,73	27
32	689	43,27	2,76	−0,50	2,80	349	1,53	0,30	1,56	11
33	697	43,14	2,70	−1,02	2,89	339	1,47	−0,21	1,49	351
34	708	42,36	2,66	−1,37	2,99	332	1,43	−0,56	1,53	338
35	716M	41,31	2,64	−1,54	3,06	329	1,41	−0,73	1,59	332
36	726	39,11	2,64	−1,74	3,17	326	1,41	−0,93	1,70	326
37	737	34,86	2,66	−2,06	3,37	322	1,43	−1,25	1,90	318
38	750	25,78	2,58	−2,89	3,88	311	1,35	−2,08	2,48	303
39	820	6,61	−1,13	−11,29	11,35	264	−2,36	−10,48	10,74	257
U=D50		**100,00**	**1,230**	**−0,810**	**1,473**	**326**	**0,0**	**0,0**	**0,0**	**0**

$a=p_{an}=n_a p_a=2{,}5[(1{,}000x-0{,}171+0{,}000z)/y]$ $A_{nu}=(a-a_u)\,Y$ $C_{ABnu}=[A^2_{nu}+B^2_{nu}]^{1/2}$
$b=p_{bn}=n_b p_b=-1{,}0[(0{,}000x+0{,}000+1{,}000z)/y]$ $B_{nu}=(b-b_u)\,Y$ $h_{ABnu}=\mathrm{atan}[B_{nu}/A_{nu}]$

DE710−8N

CIEF10 tristimulus values, chromatic values, and putities (n_a=2,5, n_b=−1,0).
Normalized *Ostwald (O)* tristimulus values (Y_w=100), ordered by hue angle.

no. O C	λ_n	*Y*	p_{an}	p_{bn}	p_{rn}	h_{abn}	p_{anu}	p_{bnu}	p_{rnu}	h_{abnu}
00	588	43,61	2,77	−0,02	2,77	359	1,54	0,78	1,73	387
01	689	43,27	2,76	−0,50	2,80	349	1,53	0,30	1,56	371
02	697	43,14	2,70	−1,02	2,89	339	1,47	−0,21	1,49	351
03	708	42,36	2,66	−1,37	2,99	332	1,43	−0,56	1,53	338
04	716	41,31	2,64	−1,54	3,06	329	1,41	−0,73	1,59	332
05	726M	39,11	2,64	−1,74	3,17	326	1,41	−0,93	1,70	326
06	737	34,86	2,66	−2,06	3,37	322	1,43	−1,25	1,90	318
07	380	25,78	2,58	−2,89	3,88	311	1,35	−2,08	2,48	303
08	455	6,61	−1,13	−11,29	11,35	264	−2,36	−10,48	10,74	257
09	460	9,49	−1,03	−8,21	8,27	262	−2,26	−7,40	7,74	252
10	462	11,32	−0,97	−6,97	7,04	262	−2,20	−6,16	6,54	250
11	464	13,45	−0,90	−5,92	5,99	261	−2,13	−5,11	5,54	247
12	468B	18,67	−0,75	−4,31	4,37	260	−1,98	−3,50	4,02	240
13	471	25,21	−0,58	−3,20	3,25	259	−1,81	−2,39	3,00	232
14	472	28,96	−0,50	−2,79	2,83	259	−1,73	−1,98	2,63	228
15	475	37,06	−0,33	−2,18	2,21	261	−1,56	−1,37	2,08	221
16	477	45,70	−0,16	−1,77	1,78	264	−1,40	−0,96	1,69	214
17	477	50,08	−0,08	−1,61	1,62	266	−1,31	−0,80	1,54	211
18	479C	58,60	0,08	−1,34	1,34	273	−1,15	−0,53	1,26	204
19	479	56,38	0,03	−1,42	1,42	271	−1,19	−0,61	1,34	207
20	484	56,72	0,06	−1,04	1,04	273	−1,16	−0,23	1,19	191
21	492	56,85	0,11	−0,64	0,65	279	−1,11	0,16	1,13	171
22	503	57,63	0,17	−0,39	0,43	294	−1,05	0,41	1,13	158
23	511G	58,68	0,23	−0,29	0,37	308	−0,99	0,51	1,12	152
24	521	60,88	0,31	−0,20	0,38	327	−0,91	0,60	1,09	146
25	532	65,12	0,46	−0,13	0,48	343	−0,76	0,67	1,01	138
26	545	74,21	0,75	−0,08	0,76	353	−0,47	0,72	0,86	123
27	563	93,38	1,39	−0,06	1,40	357	0,16	0,74	0,76	77
28	564	90,50	1,46	−0,03	1,46	358	0,23	0,77	0,81	72
29	565	88,67	1,51	−0,02	1,51	359	0,28	0,78	0,83	70
30	566	86,54	1,56	−0,01	1,56	359	0,33	0,79	0,86	67
31	568	81,32	1,68	−0,00	1,68	359	0,45	0,80	0,92	60
32	571Y	74,78	1,84	−0,00	1,84	359	0,61	0,80	1,01	52
33	573	71,03	1,93	−0,00	1,93	359	0,70	0,80	1,07	48
34	577	62,93	2,15	−0,00	2,15	359	0,92	0,80	1,22	41
35	581	54,29	2,41	−0,00	2,41	359	1,17	0,80	1,43	34
36	584R	49,91	2,55	−0,00	2,55	359	1,32	0,80	1,55	31
37	591	41,39	2,86	−0,05	2,86	−1	1,62	0,75	1,79	24
38	588	43,61	2,77	−0,02	2,77	0	1,54	0,78	1,73	27
39	689	43,27	2,76	−0,50	2,80	−10	1,53	0,30	1,56	11
U=D50		**100,00**	**1,230**	**−0,810**	**1,473**	**326**	**0,0**	**0,0**	**0,0**	**0**

$a=p_{an}=n_a p_a=2{,}5[(1{,}000x-0{,}171+0{,}000z)/y]$ $A_{nu}=(a-a_u)\,Y$ $C_{ABnu}=[A^2_{nu}+B^2_{nu}]^{1/2}$
$b=p_{bn}=n_b p_b=-1{,}0[(0{,}000x+0{,}000+1{,}000z)/y]$ $B_{nu}=(b-b_u)\,Y$ $h_{ABnu}=\mathrm{atan}[B_{nu}/A_{nu}]$

DE710−8N

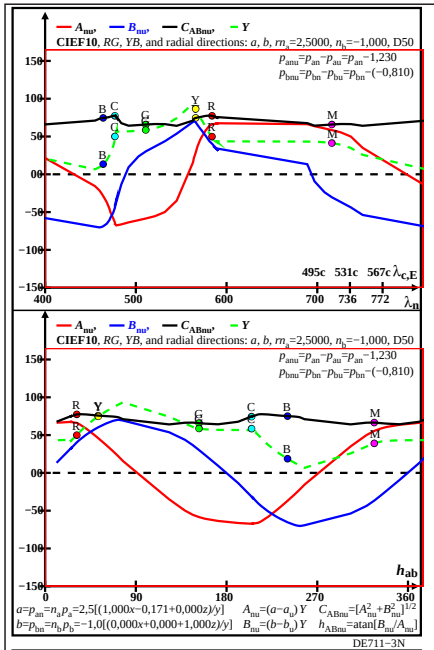

DE711−3N

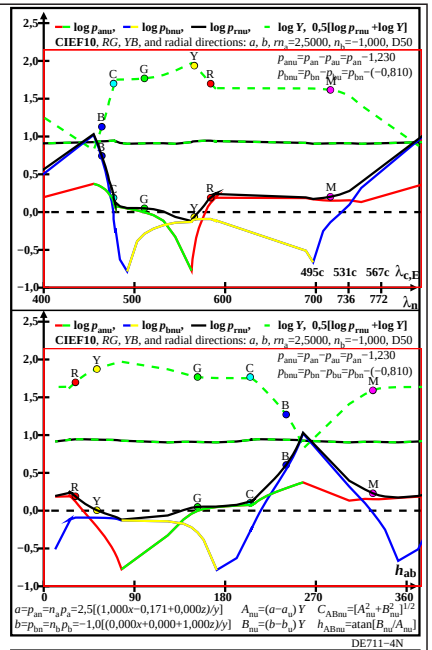

DE711−4N

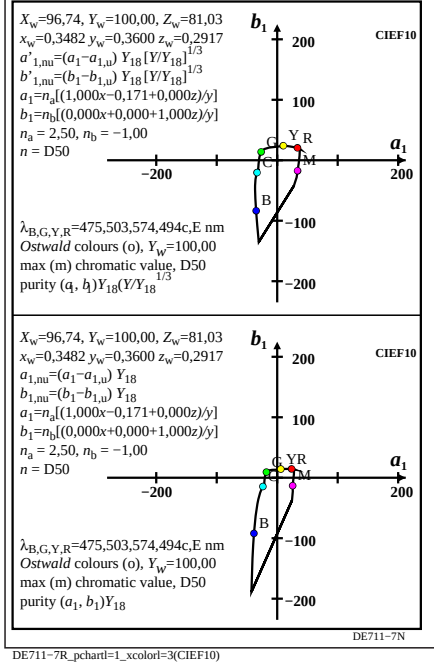

DE711−7N

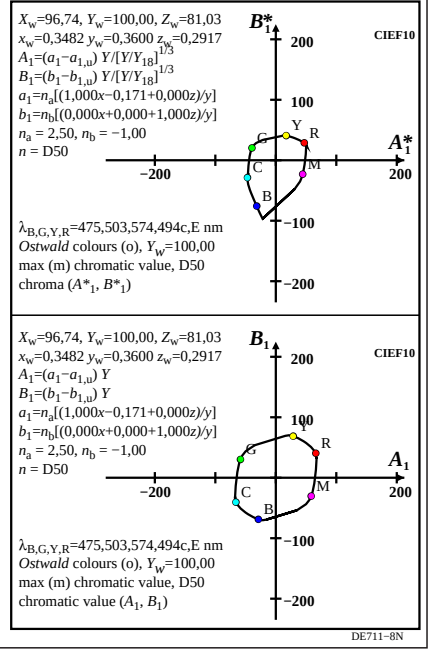

DE711−8N

DE711−7R_pchartl=1_xcolorl=3(CIEF10)

R17M tristimulus values, chromatic values, and putities (n_a=2,5, n_b=−1,0).
Normalized *Ostwald (O)* tristimulus values (Y_w=100), odered by wavelength.

no. O C	tristimulus values and chromaticities						*nu*-chromatic values			
λ_n	*X*	*Y*	*Z*	*x*	*y*	*z*	A_{nu}	B_{nu}	C_{ABnu}	h_{ABnu}
00 373	50,84	23,58	64,46	0,366	0,169	0,464	40,0	−45,4	60,5	311
01 450	26,22	10,37	70,14	0,245	0,097	0,657	7,7	−61,7	62,2	277
02 463	19,81	9,03	72,37	0,195	0,089	0,715	−4,3	−65,0	65,2	266
03 465	19,87	11,18	74,25	0,188	0,106	0,705	−8,4	−65,2	65,7	262
04 470B	20,04	16,46	77,00	0,176	0,145	0,678	−17,7	−63,6	66,1	254
05 474	20,76	23,15	78,71	0,169	0,188	0,641	−27,7	−60,0	66,0	245
06 477	22,69	31,32	79,75	0,169	0,234	0,596	−37,2	−54,4	65,9	235
07 479	24,27	35,77	80,07	0,173	0,255	0,571	−41,2	−51,1	65,7	231
08 481	28,86	45,22	80,48	0,186	0,292	0,520	−47,0	−43,9	64,3	223
09 482	30,21	48,30	79,14	0,191	0,306	0,501	−48,6	−40,1	63,0	219
10 487C	26,13	48,90	65,44	0,186	0,348	0,465	−52,2	−25,9	58,2	206
11 496	20,48	50,06	44,06	0,178	0,436	0,384	−56,6	−3,6	56,7	183
12 500	20,60	52,31	38,55	0,184	0,469	0,345	−57,6	3,7	57,7	176
13 509	19,40	53,50	28,42	0,191	0,528	0,280	−57,6	14,8	59,5	165
14 511	21,83	56,54	28,46	0,204	0,529	0,266	−57,5	17,2	60,0	163
15 518	24,65	60,36	24,01	0,226	0,553	0,220	−55,9	24,7	61,1	156
16 530G	29,99	65,40	16,35	0,268	0,585	0,146	−49,6	36,5	61,6	143
17 538	43,18	76,41	16,37	0,317	0,562	0,120	−39,9	45,3	60,4	131
18 553	67,80	89,62	10,69	0,403	0,533	0,063	−7,7	61,7	62,2	97
19 557	74,22	90,96	8,45	0,427	0,523	0,048	4,4	65,0	65,2	86
20 558	74,15	88,81	6,58	0,437	0,523	0,038	8,5	65,1	65,7	82
21 561	73,98	83,52	3,84	0,458	0,517	0,023	17,8	63,6	66,1	74
22 565	73,26	76,83	2,11	0,481	0,504	0,013	27,7	59,9	66,1	65
23 570Y	71,33	68,67	1,09	0,505	0,486	0,007	37,2	54,4	65,9	55
24 572	69,75	64,22	0,76	0,517	0,476	0,005	41,2	51,1	65,7	51
25 578	65,16	54,77	0,35	0,541	0,455	0,002	47,1	43,9	64,4	42
26 581	63,81	51,69	1,69	0,544	0,441	0,014	48,6	40,0	63,0	39
27 600	67,89	51,09	15,38	0,505	0,380	0,114	52,2	25,9	58,3	26
28 705	73,42	47,68	42,28	0,449	0,291	0,258	57,6	−3,7	57,7	356
29 714R	74,62	46,49	52,41	0,430	0,267	0,302	57,7	−14,8	59,6	345
30 716	72,19	43,45	52,37	0,429	0,258	0,311	57,5	−17,2	60,1	343
31 723	69,37	39,63	56,82	0,418	0,238	0,342	55,9	−24,7	61,2	336
32 735	64,03	34,59	64,49	0,392	0,212	0,395	49,6	−36,5	61,6	323
33 743	50,84	23,58	64,46	0,366	0,169	0,464	40,0	−45,4	60,5	311
34 815	26,22	10,37	70,14	0,245	0,097	0,657	7,7	−61,7	62,2	277
U=D50	**94,03**	**100,00**	**80,83**	**0,342**	**0,363**	**0,363**	**0,0**	**0,0**	**0,0**	**0**

$a=p_{an}=n_a p_a$=2,5[(1,000x−0,171+0,000z)/y] $A_{nu}=(a-a_u)\,Y$ $C_{ABnu}=[A^2_{nu}+B^2_{nu}]^{1/2}$
$b=p_{bn}=n_b p_b$=−1,0[(0,000x+0,000+1,000z)/y] $B_{nu}=(b-b_u)\,Y$ h_{ABnu}=atan[B_{nu}/A_{nu}]

DE710−3N

R17M tristimulus values, chromatic values, and putities (n_a=2,5, n_b=−1,0).
Normalized *Ostwald (O)* tristimulus values (Y_w=100), odered by wavelength.

no. O C	*n*-purities					*nu*-purities				
λ_n	*Y*	p_{an}	p_{bn}	p_{rn}	h_{abn}	p_{anu}	p_{bnu}	p_{rnu}	h_{abnu}
00 373	23,58	2,87	−2,73	3,96	316	1,69	−1,92	2,56	311
01 450	10,37	1,92	−6,76	7,03	285	0,74	−5,95	6,00	277
02 463	9,03	0,69	−8,01	8,04	274	−0,48	−7,20	7,22	266
03 465	11,18	0,41	−6,64	6,65	273	−0,75	−5,83	5,88	262
04 470B	16,46	0,09	−4,67	4,67	271	−1,07	−3,86	4,01	254
05 474	23,15	−0,02	−3,40	3,40	269	−1,19	−2,59	2,85	245
06 477	31,32	−0,01	−2,54	2,54	269	−1,18	−1,73	2,10	235
07 479	35,77	0,02	−2,23	2,23	270	−1,15	−1,43	1,83	231
08 481	45,22	0,13	−1,77	1,78	274	−1,04	−0,97	1,42	223
09 482	48,30	0,16	−1,63	1,64	275	−1,00	−0,83	1,30	219
10 487C	48,90	0,10	−1,33	1,34	274	−1,06	−0,53	1,19	206
11 496	50,06	0,04	−0,88	0,88	272	−1,13	−0,07	1,13	183
12 500	52,31	0,07	−0,73	0,74	275	−1,10	0,07	1,10	176
13 509	53,50	0,09	−0,53	0,54	280	−1,07	0,27	1,11	165
14 511	56,54	0,15	−0,50	0,52	287	−1,01	0,30	1,06	163
15 518	60,36	0,24	−0,39	0,46	302	−0,92	0,41	1,01	156
16 530G	65,40	0,41	−0,25	0,48	329	−0,75	0,55	0,94	143
17 538	76,41	0,65	−0,21	0,68	341	−0,52	0,59	0,79	131
18 553	89,62	1,08	−0,11	1,09	353	−0,08	0,68	0,69	97
19 557	90,96	1,22	−0,09	1,22	355	0,04	0,71	0,71	86
20 558	88,81	1,27	−0,07	1,27	356	0,09	0,73	0,74	82
21 561	83,52	1,38	−0,04	1,38	358	0,21	0,76	0,79	74
22 565	76,83	1,53	−0,02	1,53	358	0,36	0,78	0,86	65
23 570Y	68,67	1,71	−0,01	1,71	359	0,54	0,79	0,96	55
24 572	64,22	1,81	−0,01	1,81	359	0,64	0,79	1,02	51
25 578	54,77	2,03	−0,00	2,03	359	0,86	0,80	1,17	42
26 581	51,69	2,11	−0,03	2,11	359	0,94	0,77	1,21	39
27 600	51,09	2,19	−0,30	2,21	352	1,02	0,50	1,14	26
28 705	47,68	2,38	−0,88	2,54	339	1,20	−0,07	1,21	356
29 714R	46,49	2,41	−1,12	2,66	334	1,24	−0,31	1,28	345
30 716	43,45	2,50	−1,20	2,77	334	1,32	−0,39	1,38	343
31 723	39,63	2,58	−1,43	2,95	331	1,41	−0,62	1,54	336
32 735	34,59	2,61	−1,86	3,20	324	1,43	−1,05	1,78	323
33 743	23,58	2,87	−2,73	3,96	316	1,69	−1,92	2,56	311
34 815	10,37	1,92	−6,76	7,03	285	0,74	−5,95	6,00	277
U=D50	**100,00**	**1,175**	**−0,808**	**1,426**	**325**	**0,0**	**0,0**	**0,0**	**0**

$a=p_{an}=n_a p_a$=2,5[(1,000x−0,171+0,000z)/y] $A_{nu}=(a-a_u)\,Y$ $C_{ABnu}=[A^2_{nu}+B^2_{nu}]^{1/2}$
$b=p_{bn}=n_b p_b$=−1,0[(0,000x+0,000+1,000z)/y] $B_{nu}=(b-b_u)\,Y$ h_{ABnu}=atan[B_{nu}/A_{nu}]

DE710−4N

R17M tristimulus values, chromatic values, and putities (n_a=2,5, n_b=−1,0).
Normalized *Ostwald (O)* tristimulus values (Y_w=100), odered by hue angle.

no. O C	tristimulus values and chromaticities						*nu*-chromatic values			
λ_n	*X*	*Y*	*Z*	*x*	*y*	*z*	A_{nu}	B_{nu}	C_{ABnu}	h_{ABnu}
00 600	67,89	51,09	15,38	0,505	0,380	0,114	52,2	25,9	58,3	386
01 705	73,42	47,68	42,28	0,449	0,291	0,258	57,6	−3,7	57,7	356
02 714	74,62	46,49	52,41	0,430	0,267	0,302	57,7	−14,8	59,6	345
03 716	72,19	43,45	52,37	0,429	0,258	0,311	57,5	−17,2	60,1	343
04 723	69,37	39,63	56,82	0,418	0,238	0,342	55,9	−24,7	61,2	336
05 735M	64,03	34,59	64,49	0,392	0,212	0,395	49,6	−36,5	61,6	323
06 373	50,84	23,58	64,46	0,366	0,169	0,464	40,0	−45,4	60,5	311
07 450	26,22	10,37	70,14	0,245	0,097	0,657	7,7	−61,7	62,2	277
08 463	19,81	9,03	72,37	0,195	0,089	0,715	−4,3	−65,0	65,2	266
09 465	19,87	11,18	74,25	0,188	0,106	0,705	−8,4	−65,2	65,7	262
10 470	20,04	16,46	77,00	0,176	0,145	0,678	−17,7	−63,6	66,1	254
11 474	20,76	23,15	78,71	0,169	0,188	0,641	−27,7	−60,0	66,0	245
12 477B	22,69	31,32	79,75	0,169	0,234	0,596	−37,2	−54,4	65,9	235
13 479	24,27	35,77	80,07	0,173	0,255	0,571	−41,2	−51,1	65,7	231
14 481	28,86	45,22	80,48	0,186	0,292	0,520	−47,0	−43,9	64,3	223
15 482	30,21	48,30	79,14	0,191	0,306	0,501	−48,6	−40,1	63,0	219
16 487	26,13	48,90	65,44	0,186	0,348	0,465	−52,2	−25,9	58,2	206
17 496	20,48	50,06	44,06	0,178	0,436	0,384	−56,6	−3,6	56,7	183
18 500C	20,60	52,31	38,55	0,184	0,469	0,345	−57,6	3,7	57,7	176
19 509	19,40	53,50	28,42	0,191	0,528	0,280	−57,6	14,8	59,5	165
20 511	21,83	56,54	28,46	0,204	0,529	0,266	−57,5	17,2	60,0	163
21 518	24,65	60,36	24,01	0,226	0,553	0,220	−55,9	24,7	61,1	156
22 530	29,99	65,40	16,35	0,268	0,585	0,146	−49,6	36,5	61,6	143
23 538G	43,18	76,41	16,37	0,317	0,562	0,120	−39,9	45,3	60,4	131
24 553	67,80	89,62	10,69	0,403	0,533	0,063	−7,7	61,7	62,2	97
25 557	74,22	90,96	8,45	0,427	0,523	0,048	4,4	65,0	65,2	86
26 558	74,15	88,81	6,58	0,437	0,523	0,038	8,5	65,1	65,7	82
27 561	73,98	83,52	3,84	0,458	0,517	0,023	17,8	63,6	66,1	74
28 565	73,26	76,83	2,11	0,481	0,504	0,013	27,7	59,9	66,1	65
29 570	71,33	68,67	1,09	0,505	0,486	0,007	37,2	54,4	65,9	55
30 572	69,75	64,22	0,76	0,517	0,476	0,005	41,2	51,1	65,7	51
31 578	65,16	54,77	0,35	0,541	0,455	0,002	47,1	43,9	64,4	42
32 581Y	63,81	51,69	1,69	0,544	0,441	0,014	48,6	40,0	63,0	39
33 600	67,89	51,09	15,38	0,505	0,380	0,114	52,2	25,9	58,3	26
34 705	73,42	47,68	42,28	0,449	0,291	0,258	57,6	−3,7	57,7	−3
U=D50	**94,03**	**100,00**	**80,83**	**0,342**	**0,363**	**0,363**	**0,0**	**0,0**	**0,0**	**0**

$a=p_{an}=n_a p_a$=2,5[(1,000x−0,171+0,000z)/y] $A_{nu}=(a-a_u)\,Y$ $C_{ABnu}=[A^2_{nu}+B^2_{nu}]^{1/2}$
$b=p_{bn}=n_b p_b$=−1,0[(0,000x+0,000+1,000z)/y] $B_{nu}=(b-b_u)\,Y$ h_{ABnu}=atan[B_{nu}/A_{nu}]

DE710−7N

R17M tristimulus values, chromatic values, and putities (n_a=2,5, n_b=−1,0).
Normalized *Ostwald (O)* tristimulus values (Y_w=100), odered by hue angle.

no. O C	*n*-purities					*nu*-purities				
λ_n	*Y*	p_{an}	p_{bn}	p_{rn}	h_{abn}	p_{anu}	p_{bnu}	p_{rnu}	h_{abnu}
00 600	51,09	2,19	−0,30	2,21	352	1,02	0,50	1,14	386
01 705	47,68	2,38	−0,88	2,54	339	1,20	−0,07	1,21	356
02 714	46,49	2,41	−1,12	2,66	334	1,24	−0,31	1,28	345
03 716	43,45	2,50	−1,20	2,77	334	1,32	−0,39	1,38	343
04 723	39,63	2,58	−1,43	2,95	331	1,41	−0,62	1,54	336
05 735M	34,59	2,61	−1,86	3,20	324	1,43	−1,05	1,78	323
06 373	23,58	2,87	−2,73	3,96	316	1,69	−1,92	2,56	311
07 450	10,37	1,92	−6,76	7,03	285	0,74	−5,95	6,00	277
08 463	9,03	0,69	−8,01	8,04	274	−0,48	−7,20	7,22	266
09 465	11,18	0,41	−6,64	6,65	273	−0,75	−5,83	5,88	262
10 470	16,46	0,09	−4,67	4,67	271	−1,07	−3,86	4,01	254
11 474	23,15	−0,02	−3,40	3,40	269	−1,19	−2,59	2,85	245
12 477B	31,32	−0,01	−2,54	2,54	269	−1,18	−1,73	2,10	235
13 479	35,77	0,02	−2,23	2,23	270	−1,15	−1,43	1,83	231
14 481	45,22	0,13	−1,77	1,78	274	−1,04	−0,97	1,42	223
15 482	48,30	0,16	−1,63	1,64	275	−1,00	−0,83	1,30	219
16 487	48,90	0,10	−1,33	1,34	274	−1,06	−0,53	1,19	206
17 496	50,06	0,04	−0,88	0,88	272	−1,13	−0,07	1,13	183
18 500C	52,31	0,07	−0,73	0,74	275	−1,10	0,07	1,10	176
19 509	53,50	0,09	−0,53	0,54	280	−1,07	0,27	1,11	165
20 511	56,54	0,15	−0,50	0,52	287	−1,01	0,30	1,06	163
21 518	60,36	0,24	−0,39	0,46	302	−0,92	0,41	1,01	156
22 530	65,40	0,41	−0,25	0,48	329	−0,75	0,55	0,94	143
23 538G	76,41	0,65	−0,21	0,68	341	−0,52	0,59	0,79	131
24 553	89,62	1,08	−0,11	1,09	353	−0,08	0,68	0,69	97
25 557	90,96	1,22	−0,09	1,22	355	0,04	0,71	0,71	86
26 558	88,81	1,27	−0,07	1,27	356	0,09	0,73	0,74	82
27 561	83,52	1,38	−0,04	1,38	358	0,21	0,76	0,79	74
28 565	76,83	1,53	−0,02	1,53	358	0,36	0,78	0,86	65
29 570	68,67	1,71	−0,01	1,71	359	0,54	0,79	0,96	55
30 572	64,22	1,81	−0,01	1,81	359	0,64	0,79	1,02	51
31 578	54,77	2,03	−0,00	2,03	359	0,86	0,80	1,17	42
32 581Y	51,69	2,11	−0,03	2,11	0	0,94	0,77	1,21	39
33 600	51,09	2,19	−0,30	2,21	−7	1,02	0,50	1,14	26
34 705	47,68	2,38	−0,88	2,54	−20	1,20	−0,07	1,21	−3
U=D50	**100,00**	**1,175**	**−0,808**	**1,426**	**325**	**0,0**	**0,0**	**0,0**	**0**

$a=p_{an}=n_a p_a$=2,5[(1,000x−0,171+0,000z)/y] $A_{nu}=(a-a_u)\,Y$ $C_{ABnu}=[A^2_{nu}+B^2_{nu}]^{1/2}$
$b=p_{bn}=n_b p_b$=−1,0[(0,000x+0,000+1,000z)/y] $B_{nu}=(b-b_u)\,Y$ h_{ABnu}=atan[B_{nu}/A_{nu}]

DE710−8N

DE710−7R_pchartl=1_xcolorl=4(R17M)

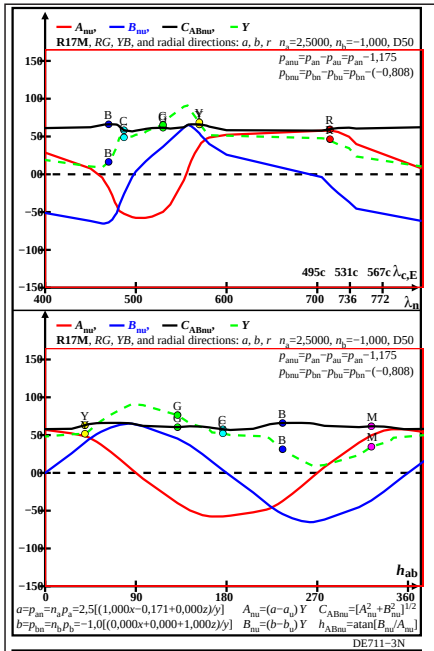

DE711−3N

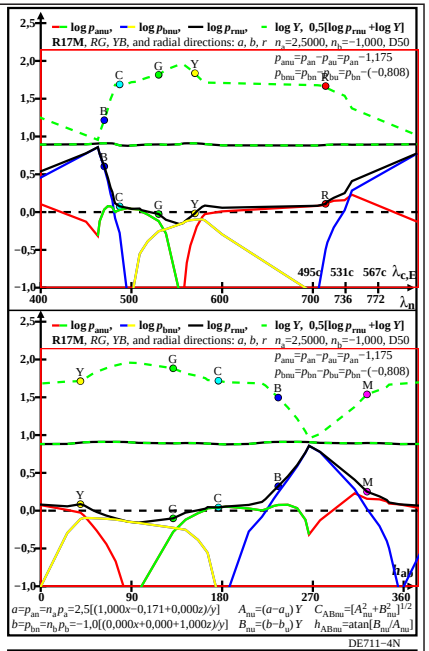

DE711−4N

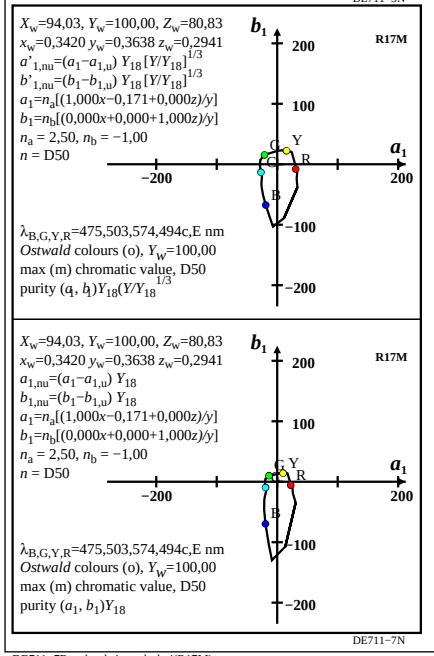

DE711−7N

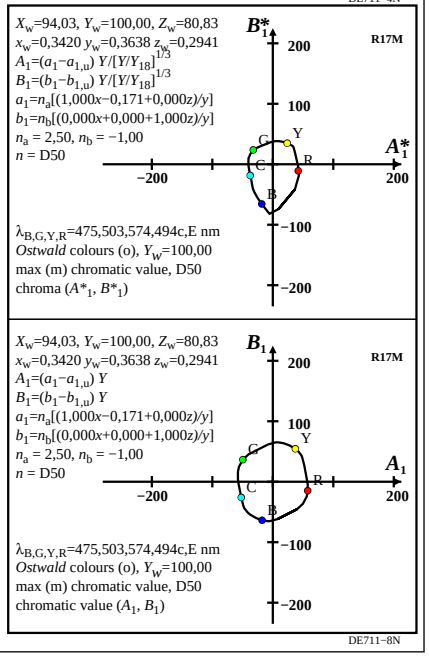

DE711−8N

R17Ms tristimulus values, chromatic values, and putities (n_a=2,5, n_b=−1,0).
Normalized *Ostwald (O)* tristimulus values (Y_w=100), ordered by wavelength.

no.	*O*	*C*	tristimulus values and chromaticities						*nu*-chromatic values			
	λ_n		*X*	*Y*	*Z*	*x*	*y*	*z*	A_{nu}	B_{nu}	C_{ABnu}	h_{ABnu}
00	375		52,09	25,14	67,62	0,359	0,173	0,466	38,8	−47,2	61,2	309
01	444		27,16	9,33	67,62	0,260	0,089	0,649	12,4	−60,0	61,3	281
02	463		21,19	9,55	72,48	0,205	0,092	0,702	−2,3	−64,7	64,7	267
03	465		21,27	11,71	74,36	0,198	0,109	0,692	−6,4	−64,8	65,1	264
04	470B		21,43	17,01	77,11	0,185	0,147	0,667	−15,7	−63,3	65,2	256
05	474		22,09	23,68	78,83	0,177	0,190	0,632	−25,7	−59,6	64,9	246
06	476		22,83	27,59	79,42	0,175	0,212	0,611	−30,7	−57,0	64,8	241
07	479		25,44	36,25	80,19	0,179	0,255	0,565	−39,4	−50,8	64,3	232
08	480		27,41	40,88	80,43	0,184	0,274	0,540	−42,8	−47,3	63,8	227
09	481		29,88	45,66	80,60	0,191	0,292	0,516	−45,4	−43,6	63,0	223
10	482C		31,14	48,71	79,26	0,195	0,306	0,498	−47,1	−39,8	61,7	220
11	488		25,13	49,09	60,78	0,186	0,363	0,450	−52,3	−21,0	56,3	201
12	496		20,67	50,20	44,12	0,179	0,436	0,383	−56,2	−3,4	56,3	183
13	500		20,63	52,39	38,61	0,184	0,469	0,345	−57,4	3,7	57,5	176
14	505		20,59	54,04	33,36	0,190	0,500	0,308	−57,9	10,3	58,8	169
15	515		20,37	55,82	24,00	0,203	0,557	0,239	−57,1	21,1	60,9	159
16	522G		23,24	59,39	19,95	0,226	0,578	0,194	−55,2	28,1	61,9	153
17	530		29,26	65,19	16,37	0,264	0,588	0,147	−50,4	36,3	62,2	144
18	540		41,69	74,85	13,32	0,321	0,576	0,103	−38,8	47,2	61,1	129
19	552		66,62	90,66	13,33	0,390	0,531	0,078	−12,4	60,0	61,3	101
20	557		72,58	90,44	8,47	0,423	0,527	0,049	2,3	64,7	64,7	87
21	558		72,51	88,28	6,59	0,433	0,527	0,039	6,4	64,8	65,1	84
22	561		72,35	82,98	3,84	0,454	0,521	0,024	15,7	63,3	65,2	76
23	565Y		71,69	76,31	2,11	0,477	0,508	0,014	25,7	59,6	64,9	66
24	567		70,94	72,40	1,53	0,489	0,499	0,010	30,7	57,0	64,8	61
25	572		68,33	63,74	0,76	0,514	0,479	0,005	39,5	50,8	64,3	52
26	575		66,36	59,11	0,52	0,526	0,469	0,004	42,8	47,3	63,8	47
27	578		63,90	54,33	0,35	0,538	0,458	0,002	45,5	43,6	63,0	43
28	581		62,64	51,28	1,69	0,541	0,443	0,014	47,1	39,8	61,7	40
29	614R		68,65	50,90	20,17	0,491	0,364	0,144	52,3	21,0	56,4	21
30	701		73,11	49,79	36,82	0,457	0,311	0,230	56,2	3,4	56,3	3
31	705		73,15	47,60	42,34	0,448	0,291	0,259	57,4	−3,8	57,6	356
32	710		73,19	45,95	47,59	0,438	0,275	0,285	57,9	−10,4	58,8	349
33	720		73,40	44,17	56,94	0,420	0,253	0,326	57,2	−21,1	61,0	339
34	727		70,53	40,59	61,00	0,409	0,235	0,354	55,2	−28,1	62,0	333
35	735M		64,51	34,79	64,58	0,393	0,212	0,394	50,5	−36,4	62,3	324
36	745		52,09	25,14	67,62	0,359	0,173	0,466	38,8	−47,2	61,2	309
37	809		27,16	9,33	67,62	0,260	0,089	0,649	12,4	−60,0	61,3	281
U=D50			**93,78**	**100,00**	**80,94**	**0,341**	**0,363**	**0,363**	**0,0**	**0,0**	**0,0**	**0**

$a=p_{an}=n_a p_a$=2,5[(1,000x−0,171+0,000z)/y] $A_{nu}=(a-a_u)\,Y$ $C_{ABnu}=[A^2_{nu}+B^2_{nu}]^{1/2}$
$b=p_{bn}=n_b p_b$=−1,0[(0,000x+0,000+1,000z)/y] $B_{nu}=(b-b_u)\,Y$ $h_{ABnu}=\text{atan}[B_{nu}/A_{nu}]$

DE710−3N

R17Ms tristimulus values, chromatic values, and putities (n_a=2,5, n_b=−1,0).
Normalized *Ostwald (O)* tristimulus values (Y_w=100), ordered by hue angle.

no.	*O*	*C*	tristimulus values and chromaticities						*nu*-chromatic values			
	λ_n		*X*	*Y*	*Z*	*x*	*y*	*z*	A_{nu}	B_{nu}	C_{ABnu}	h_{ABnu}
00	614		68,65	50,90	20,17	0,491	0,364	0,144	52,3	21,0	56,4	381
01	701		73,11	49,79	36,82	0,457	0,311	0,230	56,2	3,4	56,3	363
02	705		73,15	47,60	42,34	0,448	0,291	0,259	57,4	−3,8	57,6	356
03	710		73,19	45,95	47,59	0,438	0,275	0,285	57,9	−10,4	58,8	349
04	720		73,40	44,17	56,94	0,420	0,253	0,326	57,2	−21,1	61,0	339
05	727M		70,53	40,59	61,00	0,409	0,235	0,354	55,2	−28,1	62,0	333
06	735		64,51	34,79	64,58	0,393	0,212	0,394	50,5	−36,4	62,3	324
07	375		52,09	25,14	67,62	0,359	0,173	0,466	38,8	−47,2	61,2	309
08	444		27,16	9,33	67,62	0,260	0,089	0,649	12,4	−60,0	61,3	281
09	463		21,19	9,55	72,48	0,205	0,092	0,702	−2,3	−64,7	64,7	267
10	465		21,27	11,71	74,36	0,198	0,109	0,692	−6,4	−64,8	65,1	264
11	470		21,43	17,01	77,11	0,185	0,147	0,667	−15,7	−63,3	65,2	256
12	474B		22,09	23,68	78,83	0,177	0,190	0,632	−25,7	−59,6	64,9	246
13	476		22,83	27,59	79,42	0,175	0,212	0,611	−30,7	−57,0	64,8	241
14	479		25,44	36,25	80,19	0,179	0,255	0,565	−39,4	−50,8	64,3	232
15	480		27,41	40,88	80,43	0,184	0,274	0,540	−42,8	−47,3	63,8	227
16	481		29,88	45,66	80,60	0,191	0,292	0,516	−45,4	−43,6	63,0	223
17	482		31,14	48,71	79,26	0,195	0,306	0,498	−47,1	−39,8	61,7	220
18	488C		25,13	49,09	60,78	0,186	0,363	0,450	−52,3	−21,0	56,3	201
19	496		20,67	50,20	44,12	0,179	0,436	0,383	−56,2	−3,4	56,3	183
20	500		20,63	52,39	38,61	0,184	0,469	0,345	−57,4	3,7	57,5	176
21	505		20,59	54,04	33,36	0,190	0,500	0,308	−57,9	10,3	58,8	169
22	515		20,37	55,82	24,00	0,203	0,557	0,239	−57,1	21,1	60,9	159
23	522G		23,24	59,39	19,95	0,226	0,578	0,194	−55,2	28,1	61,9	153
24	530		29,26	65,19	16,37	0,264	0,588	0,147	−50,4	36,3	62,2	144
25	540		41,69	74,85	13,32	0,321	0,576	0,103	−38,8	47,2	61,1	129
26	552		66,62	90,66	13,33	0,390	0,531	0,078	−12,4	60,0	61,3	101
27	557		72,58	90,44	8,47	0,423	0,527	0,049	2,3	64,7	64,7	87
28	558		72,51	88,28	6,59	0,433	0,527	0,039	6,4	64,8	65,1	84
29	561		72,35	82,98	3,84	0,454	0,521	0,024	15,7	63,3	65,2	76
30	565		71,69	76,31	2,11	0,477	0,508	0,014	25,7	59,6	64,9	66
31	567		70,94	72,40	1,53	0,489	0,499	0,010	30,7	57,0	64,8	61
32	572Y		68,33	63,74	0,76	0,514	0,479	0,005	39,5	50,8	64,3	52
33	575		66,36	59,11	0,52	0,526	0,469	0,004	42,8	47,3	63,8	47
34	578		63,90	54,33	0,35	0,538	0,458	0,002	45,5	43,6	63,0	43
35	581		62,64	51,28	1,69	0,541	0,443	0,014	47,1	39,8	61,7	40
36	614R		68,65	50,90	20,17	0,491	0,364	0,144	52,3	21,0	56,4	21
37	701		73,11	49,79	36,82	0,457	0,311	0,230	56,2	3,4	56,3	3
U=D50			**93,78**	**100,00**	**80,94**	**0,341**	**0,363**	**0,363**	**0,0**	**0,0**	**0,0**	**0**

$a=p_{an}=n_a p_a$=2,5[(1,000x−0,171+0,000z)/y] $A_{nu}=(a-a_u)\,Y$ $C_{ABnu}=[A^2_{nu}+B^2_{nu}]^{1/2}$
$b=p_{bn}=n_b p_b$=−1,0[(0,000x+0,000+1,000z)/y] $B_{nu}=(b-b_u)\,Y$ $h_{ABnu}=\text{atan}[B_{nu}/A_{nu}]$

DE710−7N

DE710−7R_pchartl=1_xcolorl=5(R17Ms)

R17Ms tristimulus values, chromatic values, and putities (n_a=2,5, n_b=−1,0).
Normalized *Ostwald (O)* tristimulus values (Y_w=100), ordered by *n*-purities.

no.	*O*	*C*	*n*-purities					*nu*-purities			
	λ_n		*Y*	p_{an}	p_{bn}	p_{rn}	h_{abn}	p_{anu}	p_{bnu}	p_{rnu}	h_{abnu}
00	375		25,14	2,71	−2,69	3,82	315	1,54	−1,88	2,43	309
01	444		9,33	2,50	−7,24	7,66	289	1,33	−6,43	6,57	281
02	463		9,55	0,92	−7,58	7,64	276	−0,24	−6,78	6,78	267
03	465		11,71	0,62	−6,35	6,38	275	−0,54	−5,54	5,56	264
04	470B		17,01	0,24	−4,53	4,53	273	−0,92	−3,72	3,83	256
05	474		23,68	0,08	−3,32	3,33	271	−1,08	−2,51	2,74	246
06	476		27,59	0,05	−2,87	2,87	271	−1,11	−2,06	2,34	241
07	479		36,25	0,08	−2,21	2,21	272	−1,08	−1,40	1,77	232
08	480		40,88	0,12	−1,96	1,97	273	−1,04	−1,15	1,56	227
09	481		45,66	0,17	−1,76	1,77	275	−0,99	−0,95	1,38	223
10	482C		48,71	0,20	−1,62	1,63	277	−0,96	−0,81	1,26	220
11	488		49,09	0,10	−1,23	1,24	274	−1,06	−0,42	1,14	201
12	496		50,20	0,05	−0,87	0,88	273	−1,11	−0,06	1,12	183
13	500		52,39	0,07	−0,73	0,74	275	−1,09	0,07	1,09	176
14	505		54,04	0,09	−0,61	0,62	279	−1,07	0,19	1,08	169
15	515		55,82	0,14	−0,42	0,45	288	−1,02	0,37	1,09	159
16	522G		59,39	0,23	−0,33	0,41	305	−0,92	0,47	1,04	153
17	530		65,19	0,39	−0,25	0,46	327	−0,77	0,55	0,95	144
18	540		74,85	0,65	−0,17	0,67	344	−0,51	0,63	0,81	129
19	552		90,66	1,03	−0,14	1,04	351	−0,13	0,66	0,67	101
20	557		90,44	1,19	−0,09	1,19	355	0,02	0,71	0,71	87
21	558		88,28	1,24	−0,07	1,24	356	0,07	0,73	0,73	84
22	561		82,98	1,35	−0,04	1,36	358	0,19	0,76	0,78	76
23	565Y		76,31	1,50	−0,02	1,50	358	0,33	0,78	0,85	66
24	567		72,40	1,59	−0,02	1,59	359	0,42	0,78	0,89	61
25	572		63,74	1,78	−0,01	1,78	359	0,61	0,79	1,00	52
26	575		59,11	1,89	−0,00	1,89	359	0,72	0,80	1,08	47
27	578		54,33	2,00	−0,00	2,00	359	0,83	0,80	1,16	43
28	581		51,28	2,09	−0,03	2,09	359	0,92	0,77	1,20	40
29	614R		50,90	2,19	−0,39	2,23	349	1,02	0,41	1,10	21
30	701		49,79	2,29	−0,73	2,41	342	1,12	0,06	1,13	3
31	705		47,60	2,37	−0,88	2,53	339	1,20	−0,08	1,21	356
32	710		45,95	2,43	−1,03	2,64	336	1,26	−0,22	1,28	349
33	720		44,17	2,46	−1,28	2,78	332	1,29	−0,47	1,38	339
34	727		40,59	2,53	−1,50	2,94	329	1,36	−0,69	1,52	333
35	735M		34,79	2,62	−1,85	3,21	324	1,45	−1,04	1,79	324
36	745		25,14	2,71	−2,69	3,82	315	1,54	−1,88	2,43	309
37	809		9,33	2,50	−7,24	7,66	289	1,33	−6,43	6,57	281
U=D50			**100,00**	**1,169**	**−0,809**	**1,422**	**325**	**0,0**	**0,0**	**0,0**	**0**

$a=p_{an}=n_a p_a$=2,5[(1,000x−0,171+0,000z)/y] $A_{nu}=(a-a_u)\,Y$ $C_{ABnu}=[A^2_{nu}+B^2_{nu}]^{1/2}$
$b=p_{bn}=n_b p_b$=−1,0[(0,000x+0,000+1,000z)/y] $B_{nu}=(b-b_u)\,Y$ $h_{ABnu}=\text{atan}[B_{nu}/A_{nu}]$

DE710−8N

R17Ms tristimulus values, chromatic values, and putities (n_a=2,5, n_b=−1,0).
Normalized *Ostwald (O)* tristimulus values (Y_w=100), ordered by hue angle.

no.	*O*	*C*	*n*-purities					*nu*-purities			
	λ_n		*Y*	p_{an}	p_{bn}	p_{rn}	h_{abn}	p_{anu}	p_{bnu}	p_{rnu}	h_{abnu}
00	614		50,90	2,19	−0,39	2,23	349	1,02	0,41	1,10	381
01	701		49,79	2,29	−0,73	2,41	342	1,12	0,06	1,13	363
02	705		47,60	2,37	−0,88	2,53	339	1,20	−0,08	1,21	356
03	710		45,95	2,43	−1,03	2,64	336	1,26	−0,22	1,28	349
04	720		44,17	2,46	−1,28	2,78	332	1,29	−0,47	1,38	339
05	727M		40,59	2,53	−1,50	2,94	329	1,36	−0,69	1,52	333
06	735		34,79	2,62	−1,85	3,21	324	1,45	−1,04	1,79	324
07	375		25,14	2,71	−2,69	3,82	315	1,54	−1,88	2,43	309
08	444		9,33	2,50	−7,24	7,66	289	1,33	−6,43	6,57	281
09	463		9,55	0,92	−7,58	7,64	276	−0,24	−6,78	6,78	267
10	465		11,71	0,62	−6,35	6,38	275	−0,54	−5,54	5,56	264
11	470		17,01	0,24	−4,53	4,53	273	−0,92	−3,72	3,83	256
12	474B		23,68	0,08	−3,32	3,33	271	−1,08	−2,51	2,74	246
13	476		27,59	0,05	−2,87	2,87	271	−1,11	−2,06	2,34	241
14	479		36,25	0,08	−2,21	2,21	272	−1,08	−1,40	1,77	232
15	480		40,88	0,12	−1,96	1,97	273	−1,04	−1,15	1,56	227
16	481		45,66	0,17	−1,76	1,77	275	−0,99	−0,95	1,38	223
17	482		48,71	0,20	−1,62	1,63	277	−0,96	−0,81	1,26	220
18	488C		49,09	0,10	−1,23	1,24	274	−1,06	−0,42	1,14	201
19	496		50,20	0,05	−0,87	0,88	273	−1,11	−0,06	1,12	183
20	500		52,39	0,07	−0,73	0,74	275	−1,09	0,07	1,09	176
21	505		54,04	0,09	−0,61	0,62	279	−1,07	0,19	1,08	169
22	515		55,82	0,14	−0,42	0,45	288	−1,02	0,37	1,09	159
23	522G		59,39	0,23	−0,33	0,41	305	−0,92	0,47	1,04	153
24	530		65,19	0,39	−0,25	0,46	327	−0,77	0,55	0,95	144
25	540		74,85	0,65	−0,17	0,67	344	−0,51	0,63	0,81	129
26	552		90,66	1,03	−0,14	1,04	351	−0,13	0,66	0,67	101
27	557		90,44	1,19	−0,09	1,19	355	0,02	0,71	0,71	87
28	558		88,28	1,24	−0,07	1,24	356	0,07	0,73	0,73	84
29	561		82,98	1,35	−0,04	1,36	358	0,19	0,76	0,78	76
30	565		76,31	1,50	−0,02	1,50	358	0,33	0,78	0,85	66
31	567		72,40	1,59	−0,02	1,59	359	0,42	0,78	0,89	61
32	572Y		63,74	1,78	−0,01	1,78	359	0,61	0,79	1,00	52
33	575		59,11	1,89	−0,00	1,89	359	0,72	0,80	1,08	47
34	578		54,33	2,00	−0,00	2,00	359	0,83	0,80	1,16	43
35	581		51,28	2,09	−0,03	2,09	0	0,92	0,77	1,20	40
36	614R		50,90	2,19	−0,39	2,23	−10	1,02	0,41	1,10	21
37	701		49,79	2,29	−0,73	2,41	−17	1,12	0,06	1,13	3
U=D50			**100,00**	**1,169**	**−0,809**	**1,422**	**325**	**0,0**	**0,0**	**0,0**	**0**

$a=p_{an}=n_a p_a$=2,5[(1,000x−0,171+0,000z)/y] $A_{nu}=(a-a_u)\,Y$ $C_{ABnu}=[A^2_{nu}+B^2_{nu}]^{1/2}$
$b=p_{bn}=n_b p_b$=−1,0[(0,000x+0,000+1,000z)/y] $B_{nu}=(b-b_u)\,Y$ $h_{ABnu}=\text{atan}[B_{nu}/A_{nu}]$

DE710−8N

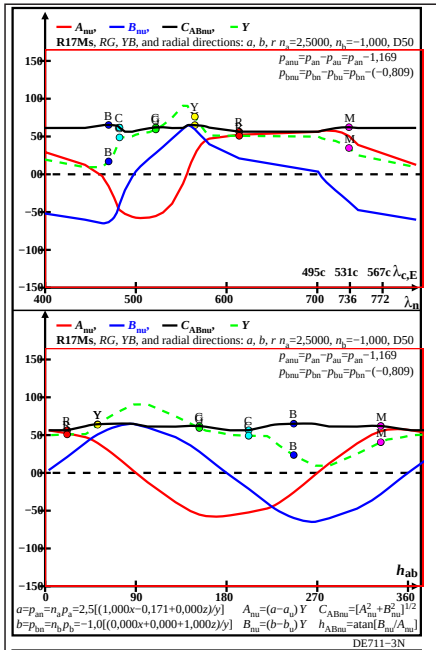

$a=p_{an}=n_a p_a$=2,5[(1,000x−0,171+0,000z)/y] $A_{nu}=(a-a_u)\,Y$ $C_{ABnu}=[A^2_{nu}+B^2_{nu}]^{1/2}$
$b=p_{bn}=n_b p_b$=−1,0[(0,000x+0,000+1,000z)/y] $B_{nu}=(b-b_u)\,Y$ $h_{ABnu}=\text{atan}[B_{nu}/A_{nu}]$

DE711−3N

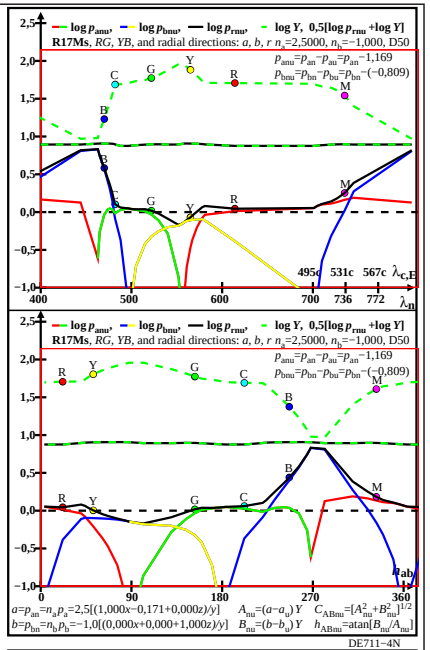

$a=p_{an}=n_a p_a$=2,5[(1,000x−0,171+0,000z)/y] $A_{nu}=(a-a_u)\,Y$ $C_{ABnu}=[A^2_{nu}+B^2_{nu}]^{1/2}$
$b=p_{bn}=n_b p_b$=−1,0[(0,000x+0,000+1,000z)/y] $B_{nu}=(b-b_u)\,Y$ $h_{ABnu}=\text{atan}[B_{nu}/A_{nu}]$

DE711−4N

X_w=93,78, Y_w=100,00, Z_w=80,94
x_w=0,3413 y_w=0,3639 z_w=0,2946
$a'_{1,nu}=(a_1-a_{1,u})\,Y_{18}\,[Y/Y_{18}]^{1/3}$
$b'_{1,nu}=(b_1-b_{1,u})\,Y_{18}\,[Y/Y_{18}]^{1/3}$
$a_1=n_a[(1,000x-0,171+0,000z)/y]$
$b_1=n_b[(0,000x+0,000+1,000z)/y]$
n_a = 2,50, n_b = −1,00
n = D50

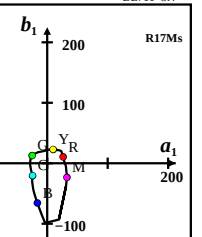

$\lambda_{B,G,Y,R}$=475,503,574,494c,E nm
Ostwald colours (o), Y_w=100,00
max (m) chromatic value, D50
purity (q_1, b_1)$Y/Y_{18}^{1/3}$

X_w=93,78, Y_w=100,00, Z_w=80,94
x_w=0,3413 y_w=0,3639 z_w=0,2946
$a_{1,nu}=(a_1-a_{1,u})\,Y_{18}$
$b_{1,nu}=(b_1-b_{1,u})\,Y_{18}$
$a_1=n_a[(1,000x-0,171+0,000z)/y]$
$b_1=n_b[(0,000x+0,000+1,000z)/y]$
n_a = 2,50, n_b = −1,00
n = D50

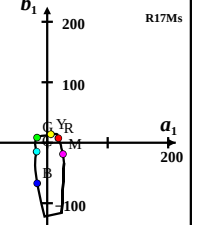

$\lambda_{B,G,Y,R}$=475,503,574,494c,E nm
Ostwald colours (o), Y_w=100,00
max (m) chromatic value, D50
purity (a_1, b_1)Y_{18}

DE711−7N

DE711−7R_pchartl=1_xcolorl=5(R17Ms)

X_w=93,78, Y_w=100,00, Z_w=80,94
x_w=0,3413 y_w=0,3639 z_w=0,2946
$A_1=(a_1-a_{1,u})\,Y/[Y/Y_{18}]^{1/3}$
$B_1=(b_1-b_{1,u})\,Y/[Y/Y_{18}]^{1/3}$
$a_1=n_a[(1,000x-0,171+0,000z)/y]$
$b_1=n_b[(0,000x+0,000+1,000z)/y]$
n_a = 2,50, n_b = −1,00
n = D50

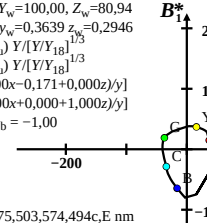

$\lambda_{B,G,Y,R}$=475,503,574,494c,E nm
Ostwald colours (o), Y_w=100,00
max (m) chromatic value, D50
chroma (A^*_1, B^*_1)

X_w=93,78, Y_w=100,00, Z_w=80,94
x_w=0,3413 y_w=0,3639 z_w=0,2946
$A_1=(a_1-a_{1,u})\,Y$
$B_1=(b_1-b_{1,u})\,Y$
$a_1=n_a[(1,000x-0,171+0,000z)/y]$
$b_1=n_b[(0,000x+0,000+1,000z)/y]$
n_a = 2,50, n_b = −1,00
n = D50

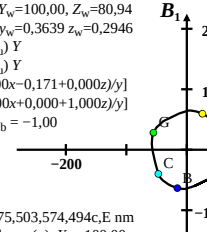

$\lambda_{B,G,Y,R}$=475,503,574,494c,E nm
Ostwald colours (o), Y_w=100,00
max (m) chromatic value, D50
chromatic value (A_1, B_1)

DE711−8N